

Linii și Suprafețe Ascunse: Metode de Sortare în Adâncime

1 Introducere

Multe obiecte tridimensionale au suprafețe care sunt poligoane plane, de exemplu cuburi, piramide, prisme etc. Multe obiecte mai complexe, cum ar fi o casă, sunt compuse din acestea. Chiar și atunci când un obiect conține suprafețe curbe, de obicei acestea pot fi foarte bine approximate prin poligoane plane, care să simuleze suprafața reală. De exemplu, suprafața unui cilindru poate fi reprezentată prin mai multe dreptunghiuri. Atunci când o asemenea aproximare este nepotrivită, descrierea suprafeței curbe trebuie realizată printr-o formulă matematică în trei variabile. Deseori, totuși, o suprafață poate fi reprezentată prin poligoane plane, astfel încât aceasta să apară ca fiind curbă.

Dacă putem defini un obiect sau o scenă grafică utilizând numai poligoane plane, atunci algoritmul de afișare poate beneficia de acest lucru și afișarea se poate face trasând laturile poligoanelor componente sau prin reprezentarea poligoanelor ca suprafețe umplute. Afișarea obiectelor care într-adevăr au suprafețe curbe este mult mai complexă și nu face obiectul studiului de față.

Pe parcursul acestui capitol obiectele în spațiu sunt considerate ca având suprafețe poligonale plane. Când un asemenea obiect este afișat numai prin trasarea laturilor, rezultatul este un model *cadru-de-sârmă* (*wireframe*). Aceasta este cea mai simplă reprezentare și modelul wireframe este utilizat și atunci când obiectul real este opac. Totuși, o asemenea reprezentare a unui obiect solid poate să apară ambiguă, întrucât se reprezintă toate laturile obiectului, inclusiv cele care nu sunt vizibile. Figura 1.1 este un exemplu în acest sens. Multe din aceste ambiguități dispar dacă liniile ascunse sunt îndepărtate. Aceasta face ca obiectul să aibă și adâncime.

Distingerea laturilor vizibile și a celor invizibile ale unui obiect este dificilă și necesită calcule laborioase. Este mult mai ușor să determinăm poligoanele care nu trebuie reprezentate, decât să găsim laturile lor. Totuși, la început s-au depus eforturi în găsirea tehnicilor de îndepărtare a liniilor ascunse și nu a suprafețelor ascunse. Aceasta deoarece inițial toate display-urile erau vectoriale și acestea nu pot reprezenta suprafețe pline, operație simplă

pentru display-urile raster de astăzi. Atunci când se reprezintă un obiect utilizând suprafețe pline, problema afișării se reduce la problema simplă a eliminării suprafețelor ascunse.

Chiar și așa, algoritmi de îndepărtare a liniilor ascunse merită atenție, nu atât pentru că încă mai există display-uri vectoriale, ci pentru că plotter-ele sunt *fizic* dispozitive vectoriale și au probleme în afișarea suprafețelor solide. Algoritmi de îndepărtare a suprafețelor nu sunt adecvați în acest caz.

Unul din scopurile graficii pe calculator este generarea de imagini ale obiectelor din lumea reală cât mai realist posibil. Un alt scop este realizarea de imagini abstracte din imaginație (artă pe calculator). Am putea dori să modelăm contururi desenând cu mâna liberă. O aplicație importantă este proiectarea asistată de calculator, în care obiectele sunt specificate complet. În toate cazurile, contururile de afișat sunt de obicei complexe.

Teoretic, descrierea completă a unui contur 3D oarecare poate necesita o infinitate de triplete de numere pentru a-i defini suprafața. La cealaltă extremă, o sferă poate fi descrisă printr-o singură formulă matematică. La fel pentru un tor, ca și pentru alte contururi ideale. Un cilindru este ceva mai complicat de descris. Toate aceste obiecte pot fi approximate prin poligoane plane cu orice finețe, dar o asemenea reprezentare devine incomodă când numărul de fațete este prea mare.

Uneori este posibil să construim un obiect complex din mai multe componente simple; uneori o componentă poate fi "extrasă" din ansamblu. Punctele de pe suprafața fiecărei componente sunt atunci descrise prin formula matematică atașată componentei. Construirea reprezentării unui contur în această manieră poartă numele de *modelare solidă*. Unele sisteme de CAD oferă o modalitate interactivă pentru modelarea solidă. Nu toate tipurile de obiecte din lumea reală sunt ușor de construit prin modelare solidă.

Multe din formele pe care dorim să le afișăm sunt prea complexe pentru a fi descrise printr-un asemenea set de formule matematice. În asemenea cazuri, se obișnuiește să se precizeze un număr limitat de puncte importante de pe suprafață și apoi se generează alte puncte de pe suprafață prin interpolare sau aproximare. Este un procedeu intermediar între utilizarea conturilor simple și utilizarea tripletelor de coordonate.

Să considerăm un exemplu clasic. Dacă dorim să reprezentăm un ceainic, nu există forme simple ideale ale căror formule să descrie întregul ceainic. Dacă utilizăm modelarea solidă, va trebui să construim ceainicul din mai multe forme ideale diferite (cilindri, conuri, sfere, toruri etc). Întrucât numărul componentelor este foarte mare, acest procedeu nu prezintă nici un avantaj. De asemenea, nu este posibil să descriem ceainicul prin înșirarea a peste 1000 de triplete de numere. Soluția constă în definirea câtorva puncte de pe suprafața obiectului și specificarea tipului suprafeței care va interpola corect aceste puncte. Suprafețele bicubice sunt foarte adecvate pentru asemenea exemple.

O altă modalitate este construirea interactivă. Acesta este un lucru obișnuit pentru

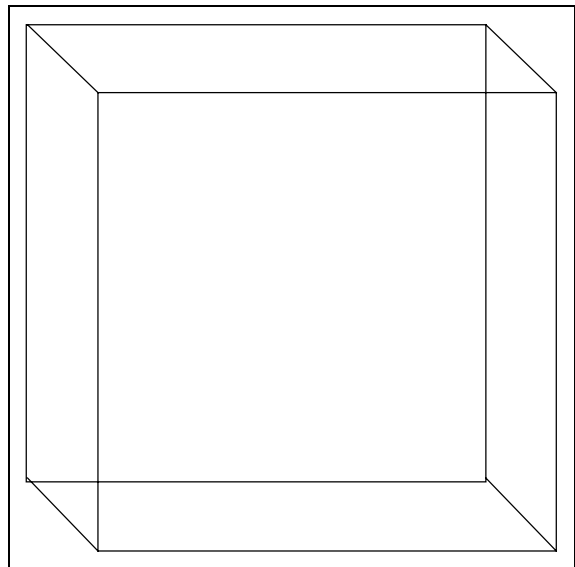


Figura 1.1 Model wireframe ambiguu

forme care nu sunt copia fidelă a unui obiect din lumea reală. Pentru aceasta se precizează mai întâi un număr limitat de puncte care aproximează conturul formei dorite. Apoi se calculează și se afișează suprafețele care interpolează sau aproximează aceste puncte. Dacă rezultatul nu este satisfăcător, putem modifica poziția unor puncte, putem adăuga sau elimina puncte sau să impunem restricții suprafeței de interpolare. Se continuă aceste operații până se obține forma dorită.

Atunci când generăm o suprafață pe baza câtorva puncte, numim aceasta *formă construită sintetic*. Întrucât imaginea rezultată poate avea proprietăți diferite de obiectele din lumea reală, această metodă face reprezentarea posibilă. Asemenea sinteză a formelor este des întâlnită în CAD.

Înainte de a discuta despre îndepărtarea de linii și fațete este necesar să vedem cum poate fi reprezentat intern un obiect 3D. Există două metode uzuale: prin rețele de poligoane și prin suprafețe parametrice bicubice. Vom studia în continuare rețelele de poligoane.

2 Rețele de Poligoane

O *rețea de poligoane* ("polygon mesh") este o modalitate de a descrie aproape orice obiect tridimensional din lumea reală, dar metoda este mai potrivită pentru obiecte care conțin multe suprafețe plane și laturi drepte. În această categorie intră clădiri, cuburi, cutii. Totuși, metoda rețelei de poligoane nu se limitează numai la obiecte ale căror suprafețe sunt plane. În acest fel poate fi descris și un obiect cu suprafață curbă. Rețeaua de poligoane inițială poate fi apoi netezită prin aproximarea suprafețelor. Pe de altă parte, poate fi prezentată astfel încât să pară o suprafață curbă netedă, chiar dacă este de fapt o mulțime de poligoane (vom discuta despre aceasta mai târziu, când va fi vorba despre umbriri).

O rețea de poligoane nu este doar un set de poligoane, fără nici o legătură între ele. Poligoanele constitutive au proprietatea de *adiacență*. O rețea de poligoane trebuie să reflecte această proprietate și să conțină secvența de *vertex*-uri (vârfuri) sau laturi care compun poligoanele individuale. Există mai multe modalități de reprezentare a unei rețele de poligoane; fiecare prezintă avantaje și dezavantaje.

O rețea de poligoane trebuie să permită:

- identificarea unui anumit poligon din rețea;
- identificarea tuturor laturilor aparținând unui poligon;
- identificarea acelor poligoane care au comună o anumită latură;
- identificarea vertex-urilor (capetelor) oricărei laturi;
- modificarea rețelei;
- afișarea rețelei.

Orice reprezentare a unei rețele trebuie să îndeplinească cerințele de mai sus. Totuși, calitatea reprezentării este determinată de ușurința în obținerea informațiilor. În plus, mai contează viteza și spațiul ocupat. Vom descrie în continuare două tipuri de rețele de poligoane.

2.1 Rețele de Poligoane Explicite

Într-o *rețea de poligoane explicite* fiecare vertex este memorat o singură dată ca triplet,

într-o tabelă de vertex-uri. Apoi definim un poligon ca o secvență de asemenea vertex-uri. Aceasta se poate face prin definirea poligoanelor ca liste înlănțuite de pointeri în tabela de vertex-uri. Figura 1.2 ilustrează acest lucru; structura de date corespunzătoare este prezentată în Figura 1.3.

Această reprezentare a unei rețele are avantajul că ocupă minimum de memorie. Modificarea rețelei este simplă și eficientă. Pentru a modifica un vertex trebuie modificat doar tripletul de numere din tabelă. Ștergerea sau adăugarea de poligoane este de asemenea simplă.

Acest procedeu ridică însă o problemă: dacă trebuie determinate poligoanele care au comună o latură, atunci trebuie parcursă toată lista de poligoane pentru a vedea dacă conțin sau nu acea latură. La fel dacă trebuie determinate toate poligoanele care au comun un anumit vertex. În cazul rețelelor de dimensiuni reduse, aceasta nu este o problemă, dar dificultățile cresc dacă rețeaua este mai mare. Mai mult, afișarea rețelei necesită parcurgerea întregii liste de poligoane și conectarea vertex-urilor prin linii drepte. Aceasta afișează corect rețeaua, dar aproape fiecare latură este trasată de două ori. Din nou, acest lucru nu deranjează în cazul rețelelor mici, dar pentru o rețea mare poate să conteze faptul că viteza de afișare se înjumătățește. Acest lucru ar putea să deranjeze în cazul animației sau a simulatoarelor de zbor.

Un exemplu de implementare Atunci când toate poligoanele sunt triunghiuri, reprezentarea internă este simplă dar foarte utilă. O înregistrare poate să conțină informații despre cele trei vertex-uri. În locul pointerilor putem memora indicii în tabloul de vertex-uri (în ordine inversă acelor de ceasornic). În înregistrare s-ar putea memora mai multă informație, dacă aceasta este util pentru aplicație: coeficienții planului triunghiului, coeficienții transformării perspectivă, culoarea sau iluminarea triunghiului, dacă este sau nu o față ascunsă etc.

Se dă mai jos un exemplu de implementare pentru o rețea de triunghiuri:

```
#define NUM_VERTEX ...
/* nr de vertex-uri */
#define NUM_TRIUNG ...
/* nr de triunghiuri */

typedef struct { double x, y,
z; } PUNCT;
```

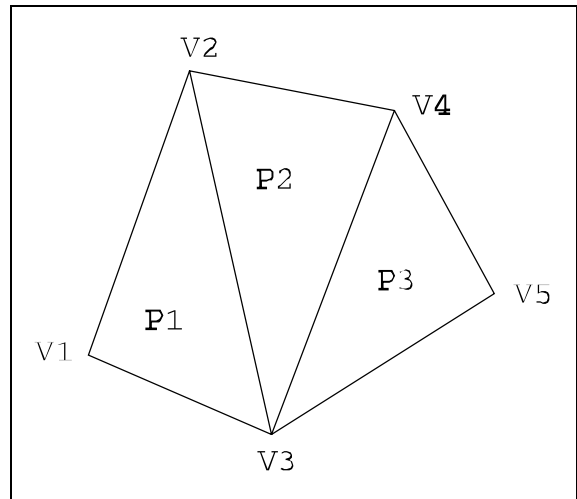


Figura 1.2 Rețea de poligoane.

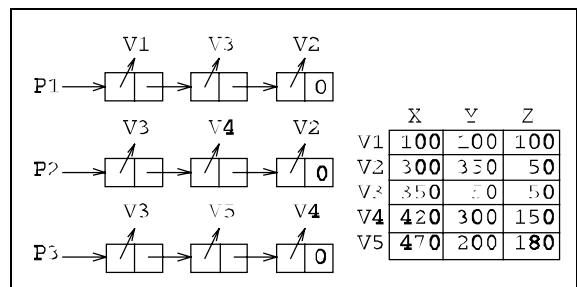


Figura 1.3 Structura de date.

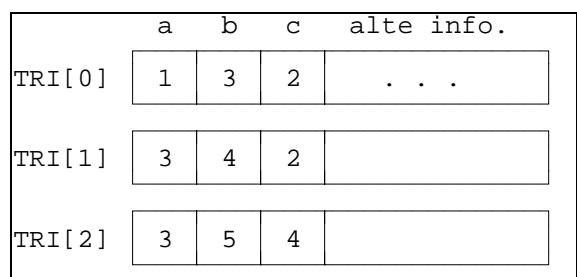


Figura 1.4

```

typedef struct { int a, b, c;
                /* alte informații */
} TRIUNGHI;

PUNCT vertex[NUM_VERTEX];
TRIUNGHI triunghiuri[NUM_TRIUNG];

```

În Figura 1.4 este prezentat un tablou de triunghiuri reprezentând rețeaua din Figura 1.2. O variantă ar fi să memorăm datele triunghiurilor nu ca tablou ci ca listă înlănțuită. În acest fel manipularea triunghiurilor devine mult mai ușoară. Un astfel de exemplu va fi prezentat în algoritmul Warnock.

2.2 Rețele de Laturi Explicite

Rețelele de laturi explicite sunt o reprezentare alternativă care elimină practic toate dezavantajele rețelelor de poligoane explicite. Ele sunt formate din trei structuri și utilizează în mod intensiv pointerii.

În primul rând, avem o tabelă de vertex-uri, la fel ca și la rețelele de poligoane explicite. Fiecare vertex este memorat o singură dată în această tabelă, ca triplet de numere. A doua structură este o listă înlănțuită a tuturor laturilor din rețea. O latură este determinată de două vertex-uri, deci fiecare înregistrare din listă conține o pereche de pointeri în tabela vertex-urilor. În plus, înregistrarea mai conține pointeri spre o listă de poligoane (descrisă mai jos) și un contor. Pentru fiecare poligon care conține latura avem câte un pointer; în cazurile normale, cu obiecte solide fără goluri, mărginite de fațete poligonale, vom avea câte doi asemenea pointeri la poligoane. Exemplul de mai jos nu este un asemenea obiect solid închis. Contorul precizează numărul de poligoane care au comună acea latură. (Există aplicații speciale în care o latură aparține la mai mult de două poligoane.)

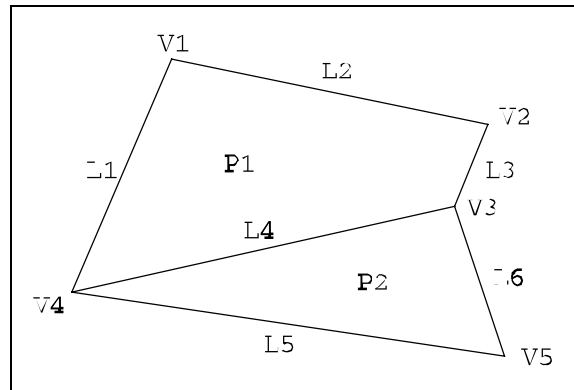


Figura 1.5

A treia structură este o listă de poligoane. Aceasta este o listă înlănțuită de pointeri în lista de laturi. Acești pointeri indică, în ordinea corectă, toate laturile din care este compus poligonul.

Figura 1.5 prezintă un exemplu de rețea de laturi explicite. Tabela vertex-urilor pentru poligoanele din Figura 1.5 este:

$$\begin{aligned}
 V1 &= (x_1, y_1, z_1) \\
 V2 &= (x_2, y_2, z_2) \\
 V3 &= (x_3, y_3, z_3) \\
 V4 &= (x_4, y_4, z_4) \\
 V5 &= (x_5, y_5, z_5)
 \end{aligned}$$

Lista de laturi este:

$LLIST = \&L1$

cu

$L1 = (1, \&V1, \&V4, \&P1, NULL, \&L2)$
 $L2 = (1, \&V1, \&V2, \&P1, NULL, \&L3)$
 $L3 = (1, \&V2, \&V3, \&P1, NULL, \&L4)$
 $L4 = (2, \&V3, \&V4, \&P1, \&P2, \&L5)$
 $L5 = (1, \&V4, \&V5, \&P2, NULL, \&L6)$
 $L6 = (1, \&V3, \&V5, \&P2, NULL, NULL)$

LLIST este un pointer la prima latură. Fiecare latură constă dintr-un contor întreg (numărul de poligoane care conțin acea latură) și cinci pointeri: doi pointeri la capetele laturii, doi pointeri la poligoane și un pointer la latura următoare. Unul din pointerii la poligoane este NULL dacă latura aparține unui singur poligon. Ultima latură se termină cu NULL. Înlănțuirea face posibilă parcurgerea tuturor laturilor, de la prima până la ultima. Lista de poligoane este:

$PLIST = (\&P1, \&P2, NULL)$

cu

$P1 = (\&L1, \&L4, \&L3, \&L2, NULL)$
 $P2 = (\&L4, \&L5, \&L6, NULL)$

Aici, PLIST este o listă de pointeri la poligoane. Întrucât numărul de poligoane este variabil, lista se termină cu un pointer NULL. Fiecare poligon este la rândul său o listă înlănțuită de pointeri către laturi; lista se termină cu NULL pentru că și numărul de laturi poate fi variabil. În descrierea poligoanelor, laturile se precizează în sens antiorar (ccw - "counterclock-wise"). Această ordine este esențială pentru multe aplicații, cum ar fi determinarea orientării în spațiu a poligonului, pentru îndepărtarea fațetelor ascunse. În definirea laturilor, ordinea celor două capete nu are importanță. Figura 1.6 prezintă structura pentru exemplul din Figura 1.5.

Pentru afișarea rețelei se parcurge lista de laturi; fiecare latură este trasată o singură dată. Găsirea tuturor laturilor care compun un poligon nu este o problemă. La fel, modificarea unui vertex nu are efecte colaterale. Adăugarea sau ștergerea unui vertex este însă mai complicată, întrucât trebuie create sau șterse referințe la acel vertex.

Totuși, pe baza acestei reprezentări este dificil să găsim laturile care conțin un anumit vertex; pentru aceasta trebuie parcurse toate laturile. Pentru rezolvarea unor asemenea probleme s-ar mai putea include niște informații în descrierea rețelei, dar cu cât se includ mai multe legături și relații cu atât se complică generarea și modificarea.

Deoarece această rețea conține informație redundantă, ea poate deveni inconsistentă. O valoare incorectă poate să nu conducă la o rețea diferită, dar în general creează contradicții. De exemplu, într-o descriere a unei laturi ar putea figura faptul că latura aparține unui

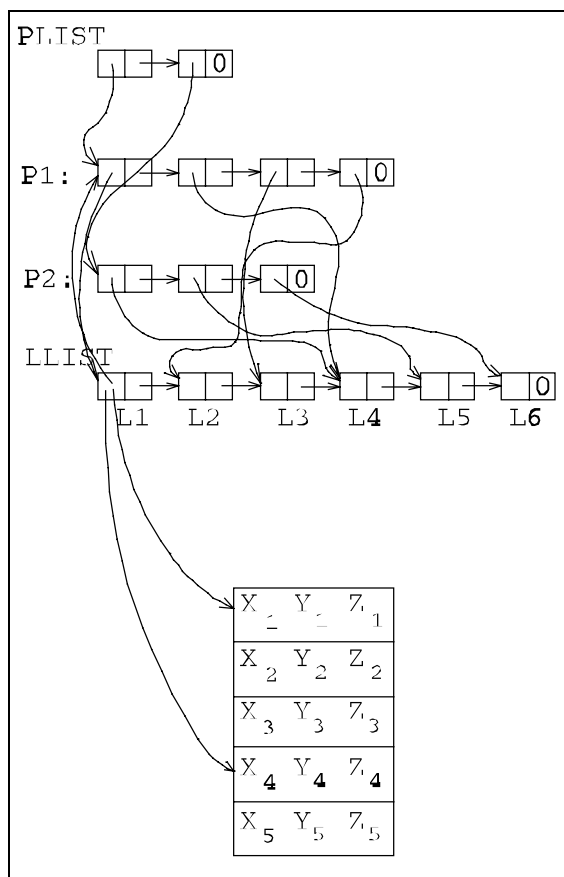


Figura 1.6 Structura listelor înlănțuite

poligon, când în realitate nu este așa. Sunt posibile și alte inconsistențe. Din această cauză, sunt necesari algoritmi care să verifice consistența rețelei.

Din păcate, corectarea inconsistențelor nu se poate realiza prin program. De exemplu, contorul din structura înregistrării unei laturi are doar rolul de a verifica un aspect al consistenței. Un program ar putea anula toate contoarele și apoi să parcurgă toate poligoanele și să incrementeze contorul unei laturi când se găsește o referință la ea. Apoi trebuie parcurse toate laturile pentru a verifica dacă contorul corespunde cu numărul de pointeri la poligoane. Dacă diferă, trebuie afișată această informație pentru laturile inconsistente.

3 Îndepărtarea Fațetelor Ascunse

Dacă un obiect spațial este format din poligoane, este destul de ușor să identificăm suprafețele obiectului care nu sunt vizibile din punctul de observare. Aceste suprafețe nu vor fi afișate. Această tehnică poartă numele de *îndepărtarea fațetelor ascunse*.

Pentru început, este necesară o trecere în revistă a calculului vectorial. Un vector este caracterizat printr-o direcție în spațiu și prin lungime; punctul de start al vectorului nu are importanță, deci doi vectori paraleli cu aceeași lungime sunt identici. Aceasta înseamnă că putem deplasa un vector în orice poziție, singura condiție este să rămână paralel cu el însuși. Atunci când un vector pornește din origine, capătul său este punctul (x,y,z) . Din acest punct de vedere un punct sau un vector pornind din origine sunt același lucru. Pentru formalismul matematic nu este necesar să facem distincție între ele, dar diferența este importantă. În continuare vom utiliza triplete de numere pentru a defini și punctele și vectorii și vom numi tripletul punct sau vector, după nevoie.

Dacă doi vectori (A,B,C) și (x,y,z) sunt normali unul pe celălalt în spațiu, atunci produsul lor scalar este 0:

$$(A, B, C) \cdot \begin{bmatrix} x \\ y \\ z \end{bmatrix} = 0 \quad (6)$$

Toți vectorii (punctele) (x,y,z) pentru care $Ax+By+Cz = 0$ se află într-un plan care conține originea; vectorul (A,B,C) este normal la acel plan. De asemenea, vom spune că planul este normal la acel vector. Planul are două fețe. Vom folosi termenul de *fața pozitivă* pentru a desemna fața de pe partea normalei.

Să mergem mai departe. Dacă (a,b,c) este un alt vector, atunci toate punctele $(x-a,y-b,z-c)$ pentru care $A(x-a)+B(y-b)+C(z-c) = 0$ se situează într-un alt plan normal la (A,B,C) . Dacă $(x-a,y-b,z-c)$ se află în acest plan, atunci (x,y,z) se află într-un plan paralel cu acesta, translatat cu vectorul (a,b,c) . Deci $A(x-a)+B(y-b)+C(z-c) = 0$ este reprezentarea unui plan care trece prin punctul (a,b,c) și este normal la vectorul (A,B,C) . Mai pe scurt, $Ax+By+Cz-D = 0$, cu $D = Aa+Bb+Cc$.

Vectorul (A,B,C) indică o anumită direcție. Putem plasa punctul de pornire al vectorului în acest plan prin translatare în punctul (a,b,c) , care aparține planului. Capătul

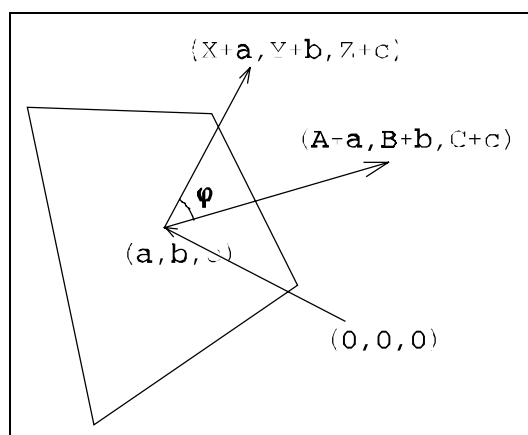


Figura 1.7 Unghiul ϕ este mai mic decât $\pi/2$

vectorului este acum punctul $(A+a, B+b, C+c)$ (vezi Figura 1.7).

Dacă un punct (x, y, z) se află de aceeași parte a planului (fața pozitivă) ca și $(A+a, B+b, C+c)$ atunci poate fi exprimat ca $(x+a, y+b, z+c)$, unde (x, y, z) trebuie să fie astfel încât unghiul φ dintre vectorii (x, y, z) și (A, B, C) trebuie să fie mai mic decât $\pi/2$. Rezultă că $\cos(\varphi) > 0$. Rezultă

$$(A, B, C) \cdot \begin{bmatrix} x \\ y \\ z \end{bmatrix} = |(A, B, C)| \cdot |(x, y, z)| \cdot \cos\varphi > 0. \quad (7)$$

Inserând $(x+a, y+b, z+c)$ în ecuația planului, obținem relația (3). Aceasta ne arată că ecuația planului dă un rezultat pozitiv pentru orice punct situat pe aceeași parte față de plan ca și direcția indicată de (A, B, C) . Pentru punctele de pe fața cealaltă rezultatul va fi negativ.

$$A(x+a) + B(y+b) + C(z+c) - D = (A, B, C) \cdot \begin{bmatrix} x \\ y \\ z \end{bmatrix} + D - D > 0 \quad (8)$$

De exemplu, să presupunem că $(A, B, C) = (5, -3, 1)$. Fie $(a, b, c) = (0, 2, 4)$. Atunci planul care trece prin (a, b, c) normal la (A, B, C) este $Ax + By + Cz = D$, cu

$$D = (5)(0) + (-3)(2) + (1)(4) = -2$$

Ecuația planului este $5x - 3y + z + 2 = 0$. Punctul $(3, 5, -6)$ este pe partea pozitivă?

$$(5)(3) + (-3)(5) + (1)(-6) + 2 = -4, \text{ nu}$$

Dar $(0, 0, 0)$?

$$(5)(0) + (-3)(0) + (1)(0) + 2 = 2, \text{ da.}$$

Ce se poate spune despre $(A, B, C) + (a, b, c) = (5, -1, 4)$?

$$(5)(5) + (-3)(-1) + (1)(4) + 2 = 34, \text{ desigur.}$$

Deseori, dorim să determinăm ecuația unui plan determinat de trei puncte. Dacă P_1 , P_2 , și P_3 cu coordonatele (x_1, y_1, z_1) , (x_2, y_2, z_2) și (x_3, y_3, z_3) sunt cele trei puncte necoliniare, atunci coeficienții ecuației planului, $Ax + By + Cz - D = 0$, sunt soluția sistemului linear:

$$Ax_i + By_i + Cz_i - D = 0, \text{ pentru } i = 1, 2, 3$$

cu necunoscutele A, B, C și D . Acest sistem linear are întotdeauna soluție. O soluție este

$$A = \begin{bmatrix} 1 & y_1 & z_1 \\ 1 & y_2 & z_2 \\ 1 & y_3 & z_3 \end{bmatrix}, \quad B = \begin{bmatrix} x_1 & 1 & z_1 \\ x_2 & 1 & z_2 \\ x_3 & 1 & z_3 \end{bmatrix}$$

$$C = \begin{bmatrix} x_1 & y_1 & 1 \\ x_2 & y_2 & 1 \\ x_3 & y_3 & 1 \end{bmatrix}, \quad D = \begin{bmatrix} x_1 & y_1 & z_1 \\ x_2 & y_2 & z_2 \\ x_3 & y_3 & z_3 \end{bmatrix}$$

Putem preciza cele trei puncte ca $P_1P_2P_3$, $P_2P_3P_1$, sau $P_3P_1P_2$ (se păstrează ordinea ciclică). Totuși, dacă se modifică ordinea ciclică în care sunt specificate punctele, atunci direcția normalei se inversează.

Să presupunem că precizăm cele trei puncte în sens antiorar privite dintr-un punct Z

din spațiu și că ecuația planului care trece prin cele trei puncte este $Ax+By+Cz-D=0$. O proprietate foarte utilă a ecuației planului este că va da rezultat pozitiv pentru punctul Z (după cum s-a văzut în exemplul de mai sus). Rezultă că orice punct care se află de aceeași parte față de plan ca și punctul Z va da un rezultat pozitiv.

Aceasta ne permite să determinăm dacă o suprafață este vizibilă din orice punct dat în spațiu. Dacă suprafața este determinată de un poligon, acest poligon se află într-un plan (lucrăm cu poligoane plane). Determinăm ecuația planului specificând trei puncte din plan, de obicei trei vertex-uri ale poligonului, și convenim că punctele se precizează în sens antiorar, văzute dintr-un punct Z din spațiu, din care considerăm suprafața ca fiind vizibilă. Atunci orice punct din spațiu pentru care ecuația planului dă rezultat pozitiv se află de aceeași parte a planului ca și punctul Z, deci suprafața este vizibilă dintr-un asemenea punct. Dacă un punct dă un rezultat negativ, atunci el se află de partea cealaltă a planului și considerăm că planul nu este vizibil din acel punct.

Vom defini în continuare noțiunea de vizibilitate pentru un obiect solid. Presupunem că un obiect solid este mărginit de poligoane. Fiecare suprafață a obiectului are un interior și un exterior. Desigur, interiorul nu este vizibil, întrucât este mascat de masa obiectului. (Și suprafețele exterioare pot fi mascate, dar aceasta este altă problemă, pe care o vom trata mai târziu.) Dacă determinăm ecuațiile planelor tuturor suprafețelor astfel încât punctele exterioare să dea un rezultat pozitiv iar punctele interioare -- rezultat negativ, atunci putem determina orientarea oricărui punct din spațiu în raport cu suprafețele obiectului.

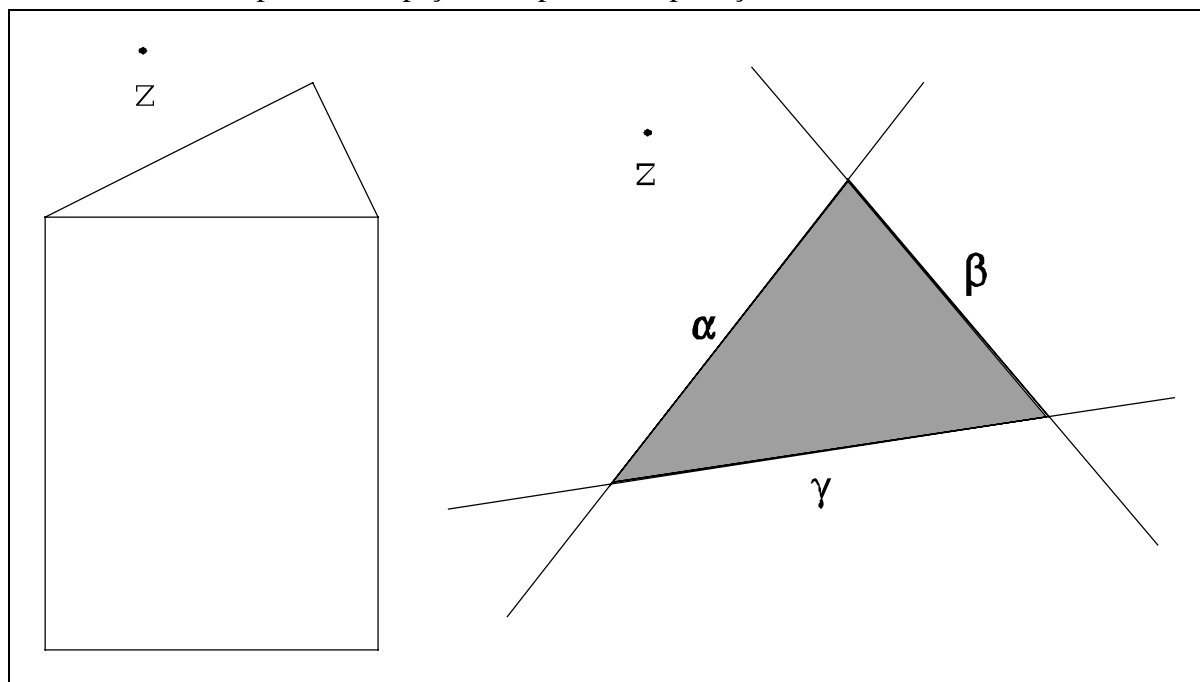


Figura 1.8 Prismă văzută din lateral și de sus

Figura 1.8 prezintă o prismă solidă și un punct Z, în vedere laterală și de sus. Vederea de sus este mai sugestivă pentru ceea ce ne propunem. Cele trei suprafețe laterale sunt indicate prin α , β , γ , iar planele în care ele sunt situate sunt reprezentate prin drepte. Punctul Z este "înafară" în relație cu planul α , "înăuntru" în relație cu β și "înăuntru" față de γ ("înăuntru" nu înseamnă neapărat în interiorul obiectului). Orice punct din care suprafața β

este vizibilă trebuie să se afle de partea opusă punctului Z față de planul β . Același lucru pentru γ . Se observă că înăuntru sau înafară sunt singurele informații pe care le putem furniza sistemului, întrucât noi putem doar să vedem cum arată obiectul.

Furnizăm aceste informații atunci când specificăm cele trei puncte care definesc planul care conține suprafața respectivă. De exemplu, suprafața γ este cea pe care o vedem din lateral. Când specificăm planul lui γ , trebuie să specificăm cele trei vertex-uri alese în sens antiorar. La fel, cele trei puncte alese pentru suprafața α trebuie să fie în sens antiorar când le privim dintr-un punct din apropierea lui Z .

Odată determinate ecuațiile planelor, putem afla dacă o suprafață este vizibilă dintr-un punct dat. Dacă Z era poziția observatorului, putem insera punctul Z în ecuațiile planelor α , β și γ , obținem rezultatele >0 , <0 respectiv <0 și rezultă că afișăm numai suprafața α . Fața de sus și cea de jos au fost ignorate în acest exemplu, dar ele trebuie tratate exact în același fel.

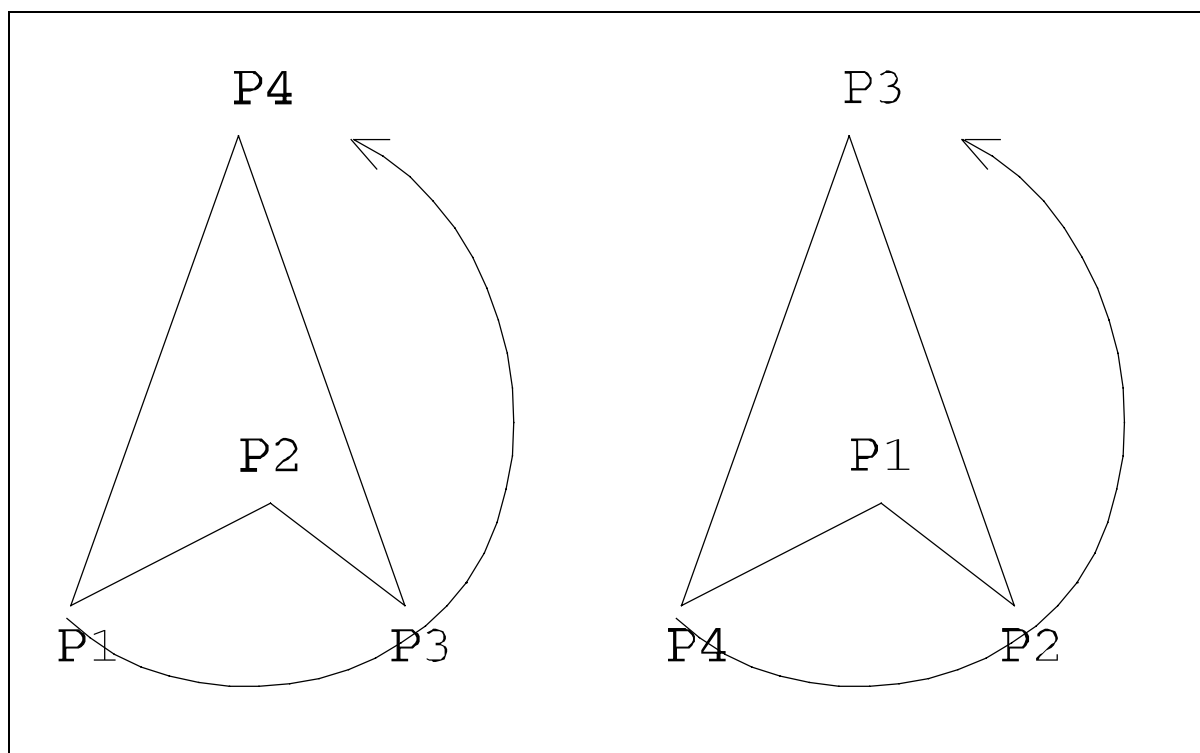


Figura 1.9

Îndepărtarea fațetelor ascunse (IFA) poate fi efectuată dacă toate poligoanele care descriu un obiect au fost introduse astfel încât orientarea unui plan poate fi determinată într-un mod neambiguu din informațiile referitoare la poligon. Uneori definim poligoanele prin vertex-uri, alteori prin laturi. În ambele cazuri, ele trebuie precizate în sens antiorar când sunt privite din exteriorul obiectului. În unele structuri de date coeficienții reprezentărilor planelor se calculează o singură dată și se memorează. În alte cazuri, se calculează la cerere. Calculul se poate baza pe primele trei vertex-uri din structura de date care definește poligonul. (Dacă poligonul este definit prin laturi, atunci primele două laturi vor da cele trei vertex-uri). Atunci când un obiect este supus unei transformări în spațiu, coeficienții planelor trebuie recalculați din vertex-urile transformate sau se transformă și coeficienții. A doua metodă este de obicei

mai simplă.

Parcursul în sens antiorar a unui poligon furnizează întotdeauna o ordine antiorară a vârfurilor întâlnite. Trebuie acordată mai mare atenție cazului când intervin poligoane concave. În Figura 1.9 se vede că punctele P_1, P_2, P_3 nu sunt în sens antiorar în poligonul din stânga, chiar dacă acesta a fost parcurs în sens antiorar. Întotdeauna este însă posibil să renumerotăm vertex-urile astfel încât primele trei să fie în sens antiorar.

IFA depinde de tipul proiecției -- perspectivă sau ortografică. La proiecția perspectivă, punctul pentru care se verifică ecuațiile planelor este centrul proiecției. Dacă rezultatul este pozitiv, suprafața este vizibilă. Prin contrast, în cazul proiecției ortografice testul este mai simplu. Vectorul normal unui plan este (A,B,C) . Dacă el indică spre observator, atunci fațeta este vizibilă. Rezultă că o coordonată z pozitivă indică o fațetă vizibilă. Nu trebuie efectuate calcule; verificăm doar semnul lui C . Este mai indicat să considerăm o fațetă ca fiind ascunsă chiar dacă rezultatul nu este 0, dar este foarte mic, deoarece trebuie luate în considerare și erorile de rotunjire. Se face deci verificarea dacă $C > 0.0001$.

Figura 1.10 prezintă un obiect pentru care se face IFA. Rezultatele diferă după tipul proiecției. În cazul proiecției ortografice, suprafețele a, b și c sunt vizibile, deoarece normalele la ele au o componentă înspre planul de vedere. Dacă este vorba de o proiecție perspectivă, atunci doar suprafața b este vizibilă.

Afișarea unui Singur Obiect Convex

Metoda prezentată poate fi utilizată pentru îndepărtarea suprafețelor sau liniilor ascunse când se afișează un singur obiect convex, indiferent dacă obiectul se afișează prin suprafețe pline sau doar prin laturi (model wireframe cu liniile ascunse îndepărtate). În cazul unui asemenea obiect, nici o fațetă dinspre observator nu poate fi ascunsă; ele sunt toate vizibile. Deci IFA este singura operație care trebuie efectuată. Dacă trebuie îndepărtate liniile ascunse, tehnica este simplă. Obiectul este definit ca o colecție de poligoane și se efectuează IFA. Apoi se face trasarea ca și

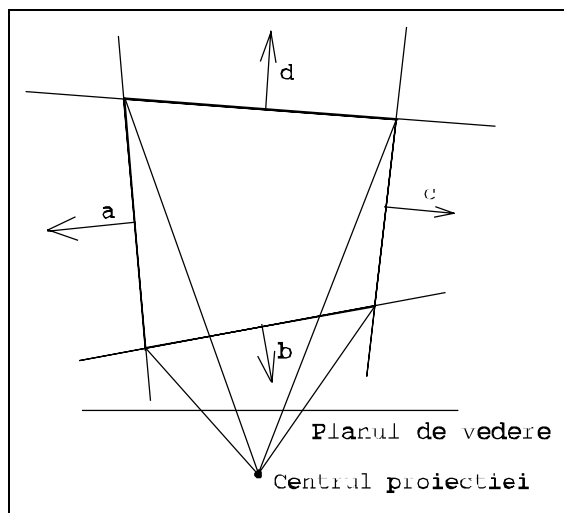


Figura 1.10 Proiecție perspectivă și ortografică

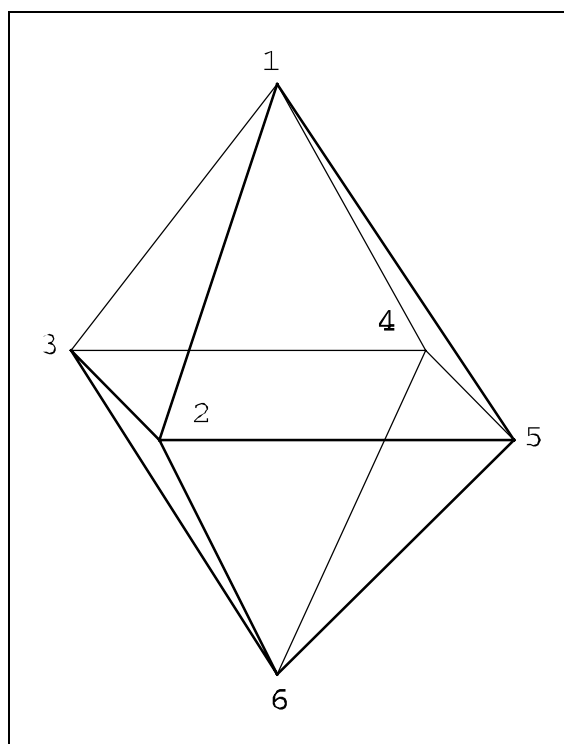


Figura 1.11 Octaedru reprezentat prin contur

cum s-ar desena suprafețe poligonale, cu diferența că se trasează doar laturile lor.

În Figura 1.11 este prezentat un octaedru, cu vertex-urile indicate prin numere. Laturile trasate de două ori sunt prezentate îngroșat, cele trasate o singură dată - ca linii normale, iar laturile care nu se afișează sunt punctate. Din punctul de observare sunt vizibile patru fațete, iar patru fațete nu sunt vizibile. Aceasta face ca laturile 21, 23, 25 și 26 să fie trasate de două ori.

Conturul obiectului se trasează o singură dată, deoarece este format din laturi care aparțin unui singur poligon vizibil. Dacă planul unui poligon este pe direcția de observare (în cazul proiecției ortogonale, coeficientul C este 0; la proiecția perspectivă, ecuația planului dă rezultatul 0 pentru centrul de proiecție), el este o singură dreaptă, imaterială indiferent dacă această linie este trasată sau nu. Întotdeauna există o altă latură a unui poligon vizibil care coincide cu acea linie.

Obiecte Concave; Mai Multe Obiecte Dacă un obiect este concav, unele fațete dinspre observator pot fi parțial sau total acoperite de alte părți ale obiectului. Similar, dacă se afișează mai multe obiecte, chiar dacă ele sunt convexe, un obiect poate să acopere părți din alt obiect. IFA nu rezolvă problema, întrucât se afișează toate fațetele dinspre observator, fără a ține seama de acoperiri. În Figura 1.12 avem un obiect concav în care fațeta a , care ar fi afișată, este acoperită parțial de alte fațete.

Chiar dacă nu rezolvă acest tip de probleme, IFA este o metodă utilă de aplicat înaintea altor tehnici generale de îndepărtare a suprafețelor și liniilor ascunse, întrucât reduce cu circa 50% numărul de poligoane pe care trebuie să le trateze algoritmi mai generali și mai complecși pe care îi vom studia în continuare.

4 Metode de Sortare în Adâncime

Metodele descrise în această secțiune sunt mai puternice decât cele prezentate anterior, deoarece nu se restrâng la un singur obiect convex. Și în continuare vom lucra cu scene grafice ale căror obiecte sunt definite prin suprafețe poligonale plane, dar pot exista mai multe obiecte, care pot să fie nu numai convexe ci și concave. Aceasta este situația în majoritatea cazurilor. Se impun însă două restricții. Scenele nu pot să conțină suprafețe care se întrepătrund reciproc sau care se acoperă ciclic. Evident, poligoanele care compun scena sunt memorate într-o structură de date. Fără a restrânge din generalitate, facem câteva presupuneri:

- Poligoanele sunt memorate în una sau mai multe rețele;
- Se efectuează o transformare a planului de vedere;
- Se efectuează o transformare perspectivă.

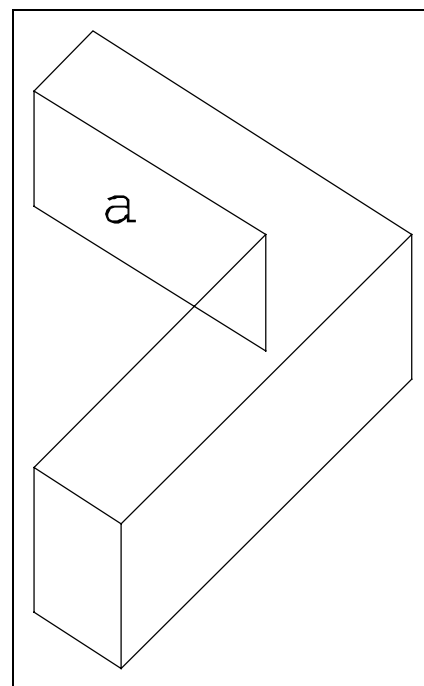


Figura 1.12 Obiect concav

Pentru a desena scena grafică cu liniile sau suprafețele ascuse îndepărtate, mai întâi se efectuează două operații:

- 1) se transformă toate vertex-urile în planul de vedere dorit;
- 2) se aplică o transformare perspectivă asupra tuturor vertex-urilor.

Aceste operații aduc obiectele de afișat în poziția dorită.

Cu poligoanele în poziția dorită, efectuăm un test de fațetă ascunsă asupra fiecărui poligon în parte. Dacă este vorba de o fațetă ascunsă, nu o vom mai lua în considerare. Dacă acel poligon nu este o fațetă ascunsă, îi memorăm toate vertex-urile într-un tablou temporar de dimensiune redusă (un tablou este mai ușor de prelucrat decât o listă înlănțuită).

În continuare, descompunem poligonul în triunghiuri; când extragem un triunghi din poligon, îi adăugăm vertex-urile în tabloul triunghiurilor. Acest tablou va conține probabil fațetele frontale ale întregii scene, sub formă de triunghiuri. În Figura 1.13 este prezentat un patrulater, reprezentarea lui în tabloul temporar și cele două triunghiuri care rezultă în urma descompunerii. Săgețile indică începutul fiecărui triunghi. Valorile mo și dr vor fi explicate mai târziu.

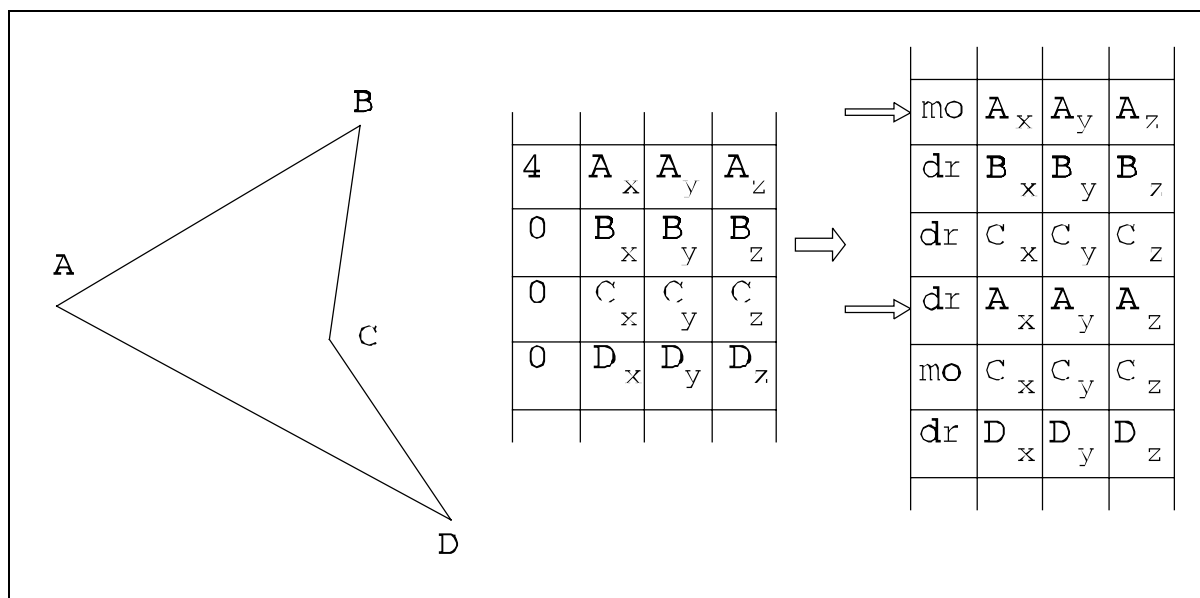


Figura 1.13 Patrulater, structura sa de date și descompunerea în triunghiuri.

Pasul următor este sortarea acestor triunghiuri, într-o ordine bazată pe adâncimea față de planul de vedere. După sortarea în adâncime, putem continua în două moduri. În primul rând, dacă desenăm scena ca fiind compusă din obiecte solide, trebuie să îndepărtăm părțile acoperite ale triunghiurilor. În acest caz, putem desena triunghiurile începând cu cel mai îndepărtat; atunci când trasăm un alt triunghi peste unul desenat anterior, acesta este ascuns în mod automat. Această metodă poartă numele de *algoritmul pictorului*. Pe de altă parte, dacă scena este compusă doar din linii, trebuie să îndepărtăm liniile ascuse. Această operație este mult mai complexă, întrucât o linie poate fi complet ascunsă de un triunghi, sau ar putea fi decupată în una sau în două bucăți.

4.1 Descompunerea în Triunghiuri

Determinarea celui mai îndepărtat dintre două poligoane este mai ușoară dacă cele două poligoane sunt triunghiuri, deoarece triunghiul este cel mai simplu poligon și întotdeauna este convex. Scopul nostru este deci să descompunem toate poligoanele cu patru sau mai multe laturi în triunghiuri. Această descompunere este simplă dacă poligonul este convex, dar este mult mai complicată în cazul poligoanelor concave. Nu luăm în considerare poligoanele stelate, pentru că ele nu au sens ca suprafețe de obiecte solide.

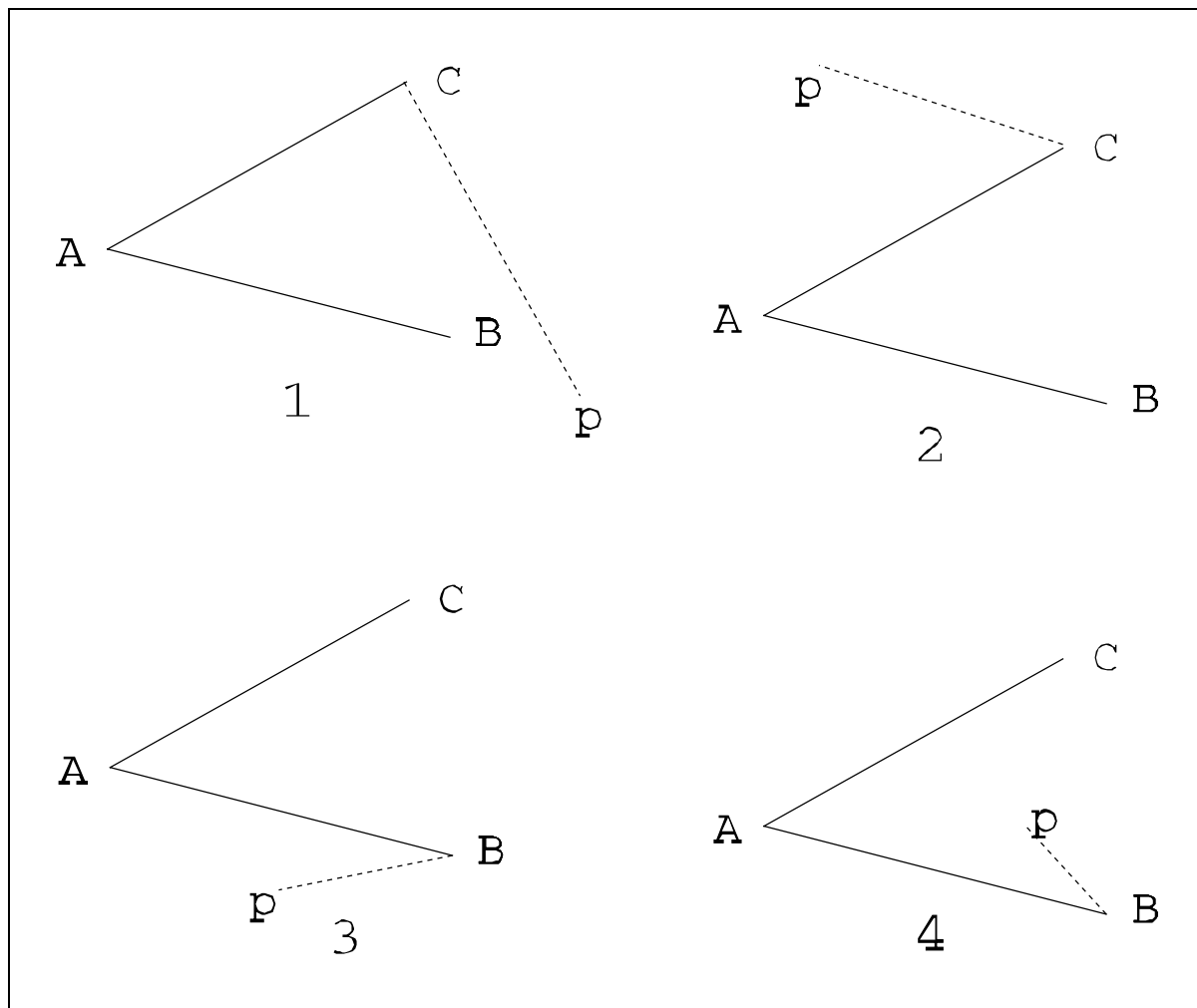


Figura 1.14 Câteva situații ale triunghiului cel mai din stânga

Metoda pe care o vom folosi descompune poligoane convexe sau concave. Se pornește cu vertex-ul cel mai din stânga al poligonului (A, vezi Figura 1.14). El poate fi determinat căutând vertex-ul cu coordonata x cea mai mică. Luăm vertex-urile vecine lui, B și C. A, B și C formează triunghiul cel mai din stânga. Un al patrulea vertex, care nu aparține acestui triunghi, p, este prezentat legat printr-o linie punctată. Această linie nu este neapărat o latură, întrucât p poate să nu fie adiacent lui B sau C. Motivul pentru care studiem punctul p este ca să vedem dacă poligonul este sau nu concav; dacă da, p este situat în interiorul triunghiului ABC.

Dacă nici un alt vertex p al poligonului nu se află în interiorul triunghiului, putem extrage acest triunghi din poligon. Figura 1.14 prezintă câteva exemple de situații în care se poate afla p față de triunghi. Vom utiliza testul *minimax* pentru a elimina unele din cazurile simple (1 și 2 din Figura 1.14). Un test *minimax* constă din găsirea celui mai mic dreptunghi care conține triunghiul și apoi verificăm dacă p este în interiorul sau în exteriorul acestui dreptunghi. Fie (x_1, y_1) , (x_2, y_2) și (x_3, y_3) cele trei vertex-uri ale triunghiului. Cel mai mic dreptunghi este determinat de colțul stânga jos:

$$\min(x_1, x_2, x_3) \quad , \quad \min(y_1, y_2, y_3)$$

și colțul dreapta sus:

$$\max(x_1, x_2, x_3) \quad , \quad \max(y_1, y_2, y_3)$$

Pentru a verifica dacă p se află sau nu în acest dreptunghi, sunt necesare patru teste (vezi Figura 1.15):

$$\begin{aligned} p_x &< \min(x_1, x_2, x_3) \\ p_y &< \min(y_1, y_2, y_3) \\ p_x &> \max(x_1, x_2, x_3) \\ p_y &> \max(y_1, y_2, y_3) \end{aligned}$$

De fapt, aceste teste se pot simplifica, deoarece știm deja că triunghiul ABC este cel mai din stânga. Deci avem nevoie doar de trei teste:

$$\begin{aligned} p_x &> \max(B_x, C_x) \\ p_y &> \max(A_y, B_y, C_y) \\ p_y &< \min(A_y, B_y, C_y) \end{aligned}$$

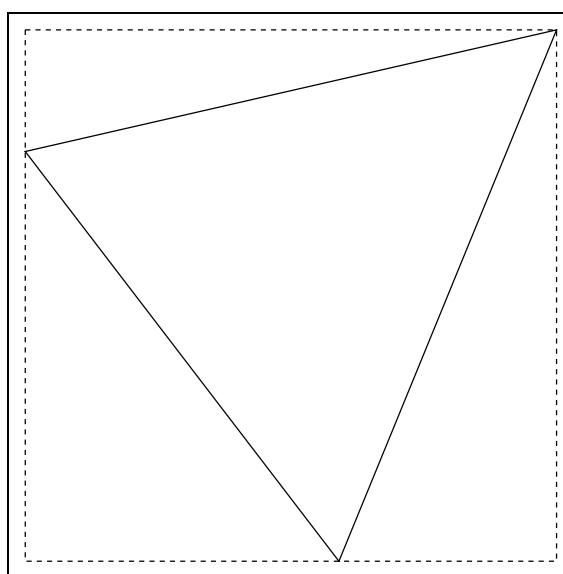


Figura 1.15

Dacă vreuna din aceste condiții este îndeplinită, atunci în mod sigur p este înafara dreptunghiului (și deci și a triunghiului).

Testul *minimax* necesită mult mai puține calcule decât testul general de interior de triunghi, descris mai jos. Îl vom utiliza mai întâi, în speranța că vom economisi timp. Dacă el nu exclude toate punctele p , trebuie aplicate testele următoare.

Testul de Interior de Triunghi În cazurile 3 și 4 din Figura 1.14, testul *minimax* nu poate să excludă punctul p . Expresia

$$f(x, y) = (x-x_1) \cdot (y_2-y_1) - (x_2-x_1) \cdot (y-y_1)$$

determină dreapta care trece prin punctele (x_1, y_1) și (x_2, y_2) . Punctul (x, y) se poate afla în trei poziții:

$f(x, y) = 0 \Rightarrow (x, y)$ se află pe dreaptă
 $f(x, y) < 0 \Rightarrow (x, y)$ se află de o parte a
 dreptei
 $f(x, y) > 0 \Rightarrow (x, y)$ se află de cealaltă parte
 a dreptei

Două puncte oarecare se află de aceeași parte a dreptei dacă funcția f are același semn pentru cele două puncte.

Acest lucru poate fi utilizat pentru testul de interior de triunghi. Un punct poate fi în interiorul triunghiului dacă se află de aceeași parte a unei laturi ca și al treilea vertex. Este nevoie să efectuăm testul pentru toate cele trei laturi (vezi Figura 1.16). Punctul p_1 se află de aceeași parte cu A față de latura BC. Analog pentru celelalte două laturi. Punctul p_2 nu se află de aceeași parte cu C față de latura AB, deci este înafara triunghiului.

Funcțiile de mai jos implementează testul descris mai sus:

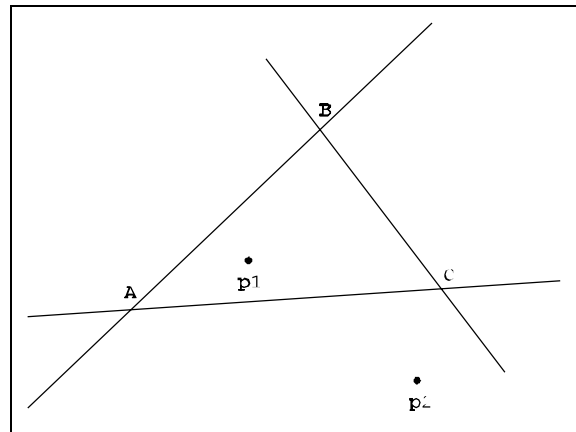


Figura 1.16 Puncte în interiorul și în exteriorul unui triunghi

```

type point = record x, y : real
               end;

function SameSide(p1,p2,l1,l2: point) : boolean;
{ true dacă p1 și p2 sunt de aceeași parte
  a dreptei l1l2 }
begin
  SameSide :=
    ((p1.x-l1.x)*(l2.y-l1.y)-(l2.x-l1.x)*(p1.y-l1.y)) *
    ((p2.x-l1.x)*(l2.y-l1.y)-(l2.x-l1.x)*(p2.y-l1.y)) > 0
end;

function inside(p, a, b, c : point) : boolean;
{ true dacă p este în interiorul triunghiului
  a,b,c; false dacă p este înafară sau pe
  laturi }
begin
  inside :=
    SameSide(p, a, b, c)
    and SameSide(p, b, a, c)
    and SameSide(p, c, a, b)
end;
  
```

Testul trebuie efectuat pentru triunghiul cel mai din stânga, pentru fiecare vertex al poligonului care nu aparține acestui triunghi și care nu a fost eliminat de testul minimax. Desigur, s-ar putea efectua doar testul general de interior, dar testul minimax economisește timp.

Reprezentăm poligonul original din tabloul temporar prin vertex-urile sale A, B, C, D ... (De reținut că un vertex constă din coordonatele x, y, z) Precedăm fiecare vertex printr-o comandă de trasare - *dr* (draw). Ordinea de memorare implică ordinea (ciclică) de trasare, deci trasăm de la primul vertex la al doilea, de la al doilea la al treilea și așa mai departe,

până când trasăm de la ultimul la primul. În tabloul de triunghiuri, comanda corespunzătoare unui vertex înseamnă că pentru acel vertex se face o mutare - *mo* (move) sau o trasare - *dr*.

Diferențierea acestor comenzi nu este foarte importantă dacă se afișează corpuri solide, dar este esențială dacă trebuie executat un algoritm de îndepărtare a liniilor ascunse. De aceea, facem această diferențiere în avans. Când un poligon este descompus, linia după care se face secționarea va forma o nouă latură, având comanda de mutare înaintea fiecăruia din cele două capete.

Poligonul din Figura 1.17 are cinci vertex-uri. Numele lor nu implică ordinea lor -- aceasta este determinată de ordinea din tablou. Vertex-ul cel mai din stânga este A, iar vecinii săi sunt B și C. Tabloul care descrie poligonul este

`drC drD drE drB drA`

Atenție, linia de la A la C este implicită !

Nu există nici un vertex în interiorul triunghiului ABC, deci îl putem extrage din poligon. Procedura de extragere generează două noi poligoane. Se creează noile secvențe, pornind de la tabloul temporar, prin înlăturarea unor vertex-uri și modificarea comenzii *dr* într-o comandă *mo* la primul vertex (în ordine ciclică). Acest prim vertex este întotdeauna cunoscut, întrucât vertex-urile care se înlătură sunt întotdeauna în ordine ciclică.

Primul poligon nou este triunghiul. Secvența care îl compune se obține prin înlăturarea tuturor vertex-urilor din poligon, cu excepția celui mai din stânga și a celor doi vecini (se înlătură D și E). Primul vârf rămas după îndepărtare este B, deci îl facem *mo*. Adăugăm secvența la tabloul de triunghiuri.

Al doilea poligon nou format se obține prin îndepărtarea doar a celui mai din stânga vertex (A). Primul vertex din set după A, C, trebuie să fie *mo*. Dacă și al doilea poligon este tot un triunghi, el este adăugat la tabloul de triunghiuri; altfel se păstrează în tabloul temporar și procesul de descompunere continuă. Ne rezultă:

`drCdrDdrEdrBdrA → drCmoBdrA și moCdrDdrEdrB`

Dacă există puncte în interiorul celui mai din stânga triunghi ABC (de exemplu p și q în Figura 1.18), atunci trebuie să-l luăm pe cel mai din stânga (p) și să descompunem poligonul, unindu-l pe A cu p. Rezultă astfel două *poligoane*. Dacă unul din ele este triunghi, îl adăugăm la tabloul de triunghiuri. În Figura 1.18 avem o asemenea situație.

Unul din poligoane se obține prin înlăturarea tuturor vertex-urilor dintre p și A în ordine ciclică (este vorba de B); A primește comanda de mutare. Celălalt poligon rezultă prin îndepărtarea tuturor vertex-urilor dintre A și p (C și q); p primește atributul *mo*. Avem:

`drCdrqdrpdrBdrA → drCdrqdrpmoA și mopdrBdrA`

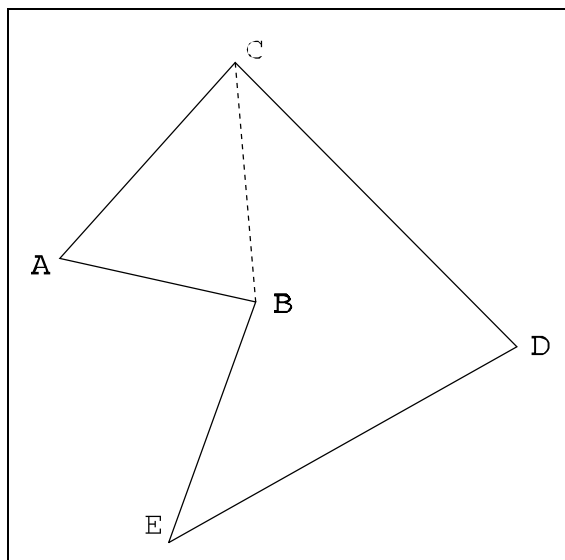


Figura 1.17 Extragerea unui triunghi; în interiorul ABC nu există nici un vertex

Dacă unul dintre cele două noi poligoane este triunghi (pBA), acesta se adaugă la tabloul triunghiurilor. Dacă ambele părți au mai mult de trei vertex-uri, trebuie să le descompunem. Pentru aceasta, pe unul îl memorăm într-o stivă pentru a fi prelucrat mai târziu. Întreținerea explicită a stivei se poate evita prin apelul recursiv al procedurii de descompunere.

Fiecare poligon va fi descompus în triunghiuri, astfel încât întreaga scenă grafică să fie compusă numai din triunghiuri. Acestea urmează să fie *sortate în adâncime*, proces numit și *sortare geometrică*.

4.2 Sortarea Geometrică

Putem afla care din triunghiurile care compun scena grafică pot să acopere alte triunghiuri dacă le sortăm într-o *ordine de acoperire*. Aceasta înseamnă să le aranjăm într-o astfel de secvență încât un triunghi poate să acopere (sau să ascundă) triunghiurile care urmează după el. Aceasta nu este o sarcină simplă. În situații de acoperire ciclică sau de întrepătrundere a triunghiurilor, ca în Figurile 1.19 și 1.20, o asemenea ordine nici nu există. Pentru a trata asemenea situații ar fi necesară o descompunere suplimentară a triunghiurilor în altele mai mici.

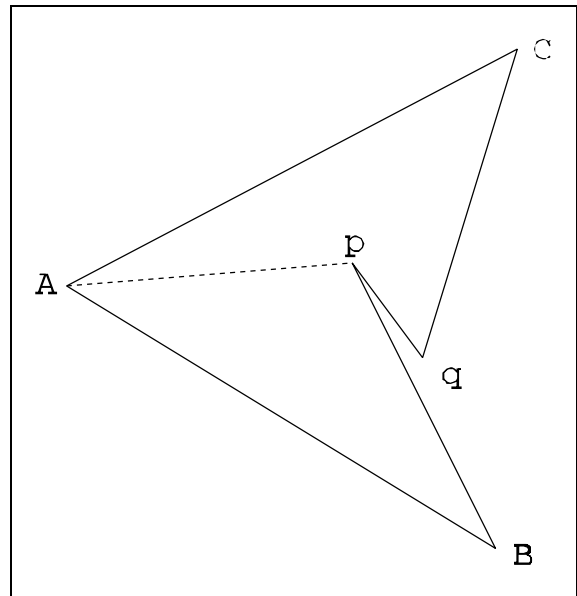


Figura 1.18 Două vertex-uri în interiorul lui ABC

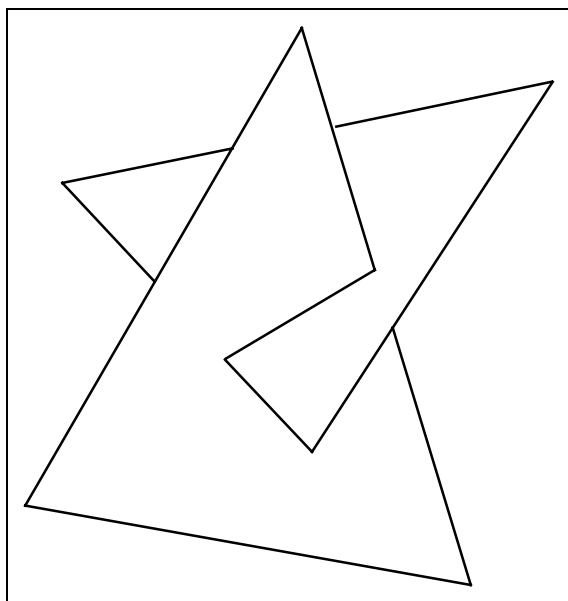


Figura 1.19 Două triunghiuri care se întrepătrund

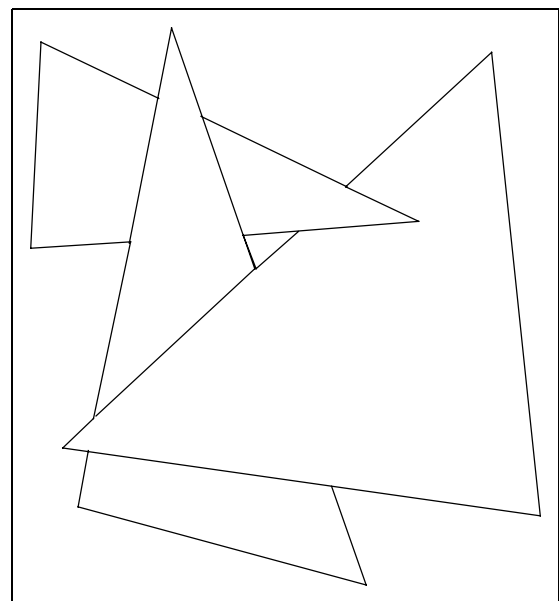


Figura 1.20 Trei triunghiuri care se acoperă ciclic

Dacă excludem asemenea situații (care se întâlnesc destul de rar în lumea reală), ordinea de acoperire se poate determina prin compararea triunghiurilor fiecare cu fiecare.

Pentru aceasta, trebuie să găsim câte un punct în fiecare din triunghiuri care să aibă aceleași coordonate x,y dar care să difere prin z. Atunci ordinea în adâncime este dată de coordonatele z. Este necesară această comparație în cazul că două triunghiuri se suprapun.

Testul de Suprapunere a Triunghiurilor Pentru a determina dacă două triunghiuri se suprapun vom utiliza doar coordonatele (x,y), deci lucrăm cu proiecțiile triunghiurilor. Primul test de efectuat este testul minimax pentru două triunghiuri, care ne poate spune dacă două triunghiuri *nu* se suprapun. Pentru fiecare triunghi calculăm dreptunghiul minim care îl conține și le comparăm. Dacă dreptunghiurile nu se suprapun, înseamnă că nici triunghiurile nu se suprapun. Altfel, sunt necesare alte teste (Figura 1.21).

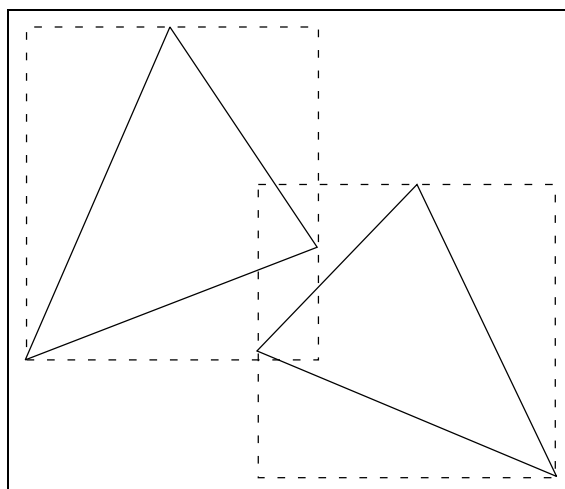


Figura 1.21 Dreptunghiurile minime se suprapun

Pentru triunghiurile rămase, pentru care încă nu putem spune dacă se suprapun sau nu, în continuare căutăm intersecții ale unor laturi ale triunghiului T_1 cu laturi ale lui T_2 . (Lucrăm cu proiecții!) Dacă găsim cel puțin o intersecție, nu mai efectuăm alte teste; triunghiurile se suprapun. Totuși, două triunghiuri se pot suprapune chiar dacă laturile lor nu se intersectează -- atunci când unul din triunghiuri este în interiorul celuilalt.

Dacă două segmente sunt date prin capetele lor, (x_1, y_1) , (x_2, y_2) și (x_3, y_3) , (x_4, y_4) , căutăm intersecția lor efectuând mai întâi un test minimax:

$$\begin{aligned} \max(x_1, x_2) &< \min(x_3, x_4) \\ \max(x_3, x_4) &< \min(x_1, x_2) \\ \max(y_1, y_2) &< \min(y_3, y_4) \\ \max(y_3, y_4) &< \min(y_1, y_2) \end{aligned}$$

Dacă una din aceste condiții este adevărată, atunci cele două segmente nu se intersectează. Acest test este mult mai puțin costisitor decât următorul.

Dacă nici una din condițiile de mai sus nu este îndeplinită, continuăm după cum urmează. În primul rând, verificăm dacă liniile sunt paralele, adică dacă au aceeași pantă. Condiția este:

$$D = (x_3 - x_4) \cdot (y_1 - y_2) - (x_1 - x_2) \cdot (y_3 - y_4) = 0$$

Dacă $D=0$ atunci nu avem intersecție. (Ar fi mai indicată condiția $|D| < \epsilon$, cu ϵ dependent de precizia aritmetică.)

Dacă $|D| < \epsilon$, efectuăm un al doilea test. Calculăm:

$$\begin{aligned} s &= [(x_3 - x_4) (y_1 - y_2) - (x_1 - x_3) (y_3 - y_4)] / D \\ t &= [(x_1 - x_2) (y_1 - y_3) - (x_1 - x_3) (y_1 - y_2)] / D \end{aligned}$$

Dacă $0 < (s, t) < 1$, atunci segmentele au o intersecție în punctul (x, y) situat între capetele lor:

$$\begin{aligned} x &= x_1 + s(x_2 - x_1) \\ y &= y_1 + s(y_2 - y_1) \end{aligned}$$

(De obicei nu ne interesează coordonatele intersecției; este suficient să știm că ele se intersectează.) Acest test nu ia în considerare cazul când un segment trece printr-unul din capetele celuilalt.

Dacă nici una dintre cele două perechi de laturi nu ne dă nici o intersecție, avem două situații posibile: fie unul din triunghiuri îl conține pe celălalt, fie ele nu se suprapun (Figura 1.22).

După testele de mai sus, ultimul test verifică dacă un triunghi îl conține pe celălalt. Pentru aceasta, efectuăm un test de interior de triunghi pentru un vertex al unui triunghi față de celălalt triunghi.

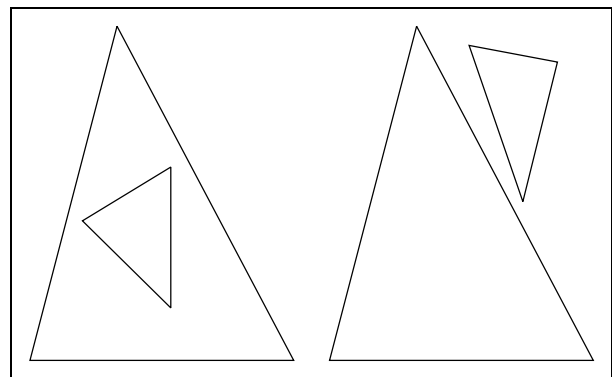


Figura 1.22 Nu există intersecții de laturi

Comparația în Adâncime În urma testelor de mai sus, știm acum, pentru fiecare pereche de triunghiuri, dacă ele se suprapun. Dacă nu, relația de adâncime dintre ele nu ne interesează. Dacă da, atunci trebuie să vedem care dintre ele este deasupra. Și acum avem de-a face cu teste simple, care rezolvă majoritatea cazurilor, și teste mai complexe, care trebuie aplicate dacă primele nu sunt concludente.

O metodă simplă este testul minimax pentru coordonata z . Dacă toate coordonatele z ale unui triunghi sunt mai mici decât ale celuilalt, atunci putem decide care dintre triunghiuri este deasupra. În Figura 1.23 avem două triunghiuri, A și B, ale căror proiecții se suprapun, văzute de pe axa y . De reținut faptul că triunghiurile din figură au fost supuse unei transformări perspectivă în adâncime și mai este necesară doar o proiecție ortografică.

În Figura 1.23, cel mai mic z al lui A este mai mare decât cel mai mare z al lui B. Deci triunghiul B acoperă parțial sau total triunghiul A.

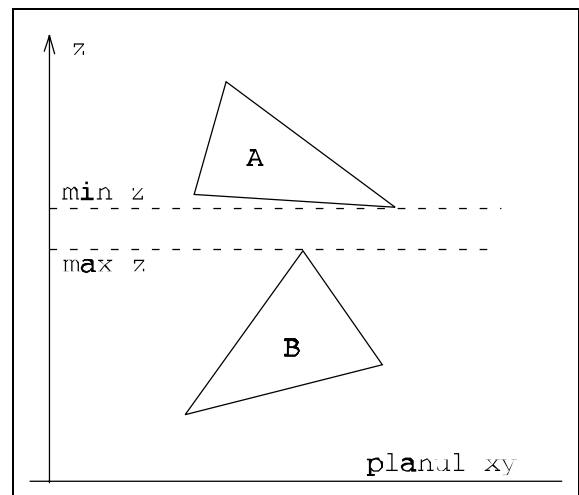


Figura 1.23

$$\begin{aligned} \min(z_A) > \max(z_B) &\Rightarrow B \text{ peste } A \\ \min(z_B) > \max(z_A) &\Rightarrow A \text{ peste } B \end{aligned}$$

Totuși, problema adâncimii nu se rezolvă întotdeauna atât de simplu. Un caz posibil este prezentat în Figura 1.24. Trebuie să găsim o pereche (x, y) care să reprezinte puncte care aparțin ambelor proiecții și apoi să comparăm coordonatele z . Relația dintre ele determină

relația de adâncime dintre A și B. Această relație de adâncime s-ar putea să nu se aplice triunghiurilor în întregime, dar în mod sigur este valabilă pentru porțiunile care se suprapun.

Linia verticală care trece prin q și p în Figura 1.24 indică puncte în care avem această relație. În acest caz, cele două puncte se află la intersecția a două laturi în planul (x,y). Întrucât q, care aparține triunghiului B, are z-ul mai mic, tragem concluzia că triunghiul A este în spatele triunghiului B.

Dacă testul minimax pentru z nu este concludent, căutăm puncte cu aceleași coordonate (x,y) care să aparțină câte unui triunghi. Întrucât ele se suprapun, în mod sigur există asemenea puncte. Deja am găsit dacă proiecțiile a două laturi se intersectează sau dacă un triunghi este în interiorul celuilalt. Dacă am găsit că este vorba de intersecție de laturi, cunoaștem valorile s și t; dacă un triunghi este în interiorul celuilalt, îi cunoaștem vârfurile -- fiecare dintre aceste puncte aparține ambelor triunghiuri. Dacă un triunghi este conținut în celălalt, comparăm coordonatele z pentru centru. Dacă avem o intersecție de laturi, procedăm după cum urmează.

Fie (P_1, P_2) și (P_3, P_4) capetele laturilor care se intersectează. Cunoscând s și t, calculăm

$$\begin{aligned} z_A &= z_1 + s(z_2 - z_1) \\ z_B &= z_3 + s(z_4 - z_3) \end{aligned}$$

Dacă $z_A < z_B$ atunci A îl acoperă pe B; dacă $z_B < z_A$ atunci B îl acoperă pe A.

Dar dacă $z_A = z_B$? În acest caz încă nu putem trage o concluzie și trebuie efectuate alte teste. Mai căutăm altă intersecție de laturi. Nu este sigur că o vom găsi pe una din laturile curente. Întrucât triunghiurile nu sunt coplanare, întotdeauna vom găsi un alt punct de intersecție care să aibă coordonate z diferite.

Egalitatea $z_A = z_B$ trebuie interpretată ținând cont de erorile de rotunjire. Egalitatea perfectă probabil că nu se întâlnește niciodată, așa că vom testa $|z_A - z_B| < \epsilon$, cu ϵ mic. În absența lui ϵ , cele două triunghiuri s-ar putea să se atingă sau să fie foarte apropiate în acel punct din spațiu, dar în rest să fie foarte îndepărtate. Erorile de precizie aritmetică ne-ar putea da $z_A < z_B$, când în realitate $z_A \geq z_B$ și am putea ajunge la concluzii greșite.

Am spus că două triunghiuri nu pot fi coplanare, dar ce se întâmplă dacă din cauza preciziei de calcul ele rezultă ca fiind totuși coplanare? În acest caz ele în realitate sunt aproape coplanare și obiectele de care aparțin se ating în spațiu. Obiectele reale sunt solide, deci interiorul obiectelor se află pe părțile opuse ale planelor respective. Deci, unul din plane este o fațetă ascunsă și a fost deja eliminat. Cu alte cuvinte, nu putem întâlni această situație!

Recapitulând, dacă testul minimax pentru z nu este concludent, căutăm intersecții de laturi. Dacă într-una din intersecții avem egalitate pentru z, atunci căutăm altă intersecție. Dacă z-urile diferă cu mai mult de ϵ , știm care este situația, altfel căutăm o a treia intersecție. Dacă ea există, z-urile trebuie să difere cu mai mult de ϵ .

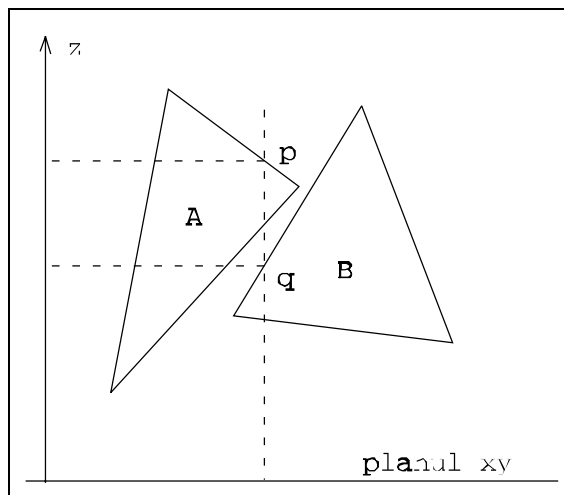


Figura 1.24 Testul minimax pentru z nu este concludent

Dacă a treia intersecție nu există, înseamnă că un vârf al triunghiului se află în interiorul celuilalt. În acest caz (vezi Figura 1.25), trebuie să găsim acest vârf. Uneori este vorba de unul singur, alteori pot exista 2 vertex-uri. Trebuie efectuat un test minimax punct-triunghi, urmat, dacă este cazul, de un test de interior de triunghi pentru toate combinațiile vertex-triunghi, până când găsim acest vertex. Pentru acest punct, p, calculăm coordonatele z ale planelor în care se află fiecare dintre triunghiuri.

Fie A triunghiul a cărui proiecție conține punctul $p=(p_x, p_y)$ și (x_1, y_1, z_1) , (x_2, y_2, z_2) și (x_3, y_3, z_3) vertex-urile sale. Fie B celălalt triunghi. Pentru punctul p:

$$z_A = -\frac{a}{c}(p_x - x_1) - \frac{b}{c}(p_y - y_1) + z_1$$

cu

$$\begin{aligned} a &= (y_2 - y_3)(z_1 - z_3) - (z_2 - z_3)(y_1 - y_3) \\ b &= (z_2 - z_3)(x_1 - x_3) - (x_2 - x_3)(z_1 - z_3) \\ c &= (x_2 - x_3)(y_1 - y_3) - (y_2 - y_3)(x_1 - x_3) \end{aligned}$$

$$z_B = p_z$$

Dacă $z_A < z_B$ atunci A îl acoperă pe B; dacă $z_B < z_A$, atunci B îl acoperă pe A.

Stabilirea Ordinii în Adâncime În acest moment putem determina pentru fiecare pereche de triunghiuri dacă ele se suprapun și dacă da, care dintre ele este mai aproape de noi. Pentru a exprima această *ordine de adâncime*, pentru fiecare triunghi se creează o listă care conține pointeri la acele triunghiuri care îl acoperă. Mai păstrăm un contor al triunghiurilor care se află în spatele lui. Pentru exemplul din Figura 1.26 avem (vezi tabelul 1).

În pseudocod:

```

for i := 1 to n-1 do
  for j := i+1 to n do begin
    if Δ i și j se suprapun
      then begin
        găsește relația de adâncime
        if j este în fața lui i
          then begin
            adaugă j la lista lui i
            incrementează contor[j]
          end
        else begin

```

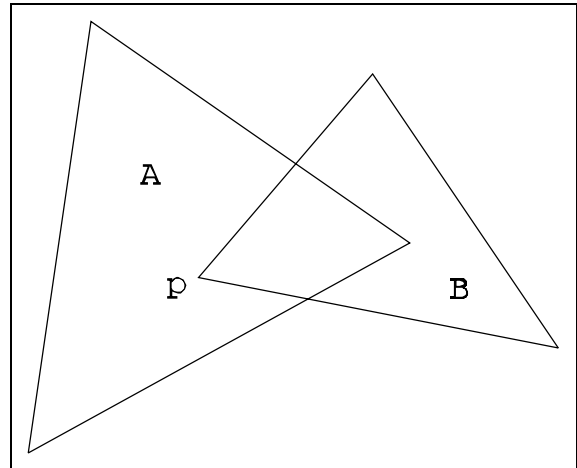


Figura 1.25 Numai două intersecții de laturi

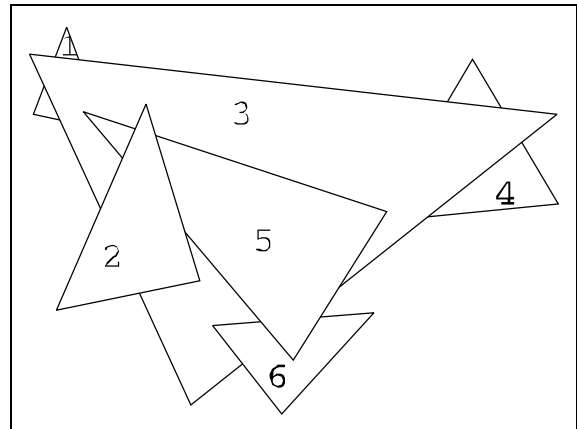


Figura 1.26

```

        adaugă i la lista lui j
        incrementează contor[i]
    end
end
end
end

```

4.3 Îndepărtarea Suprafețelor Ascunse (Algoritmul Pictorului)

În acest moment am îndepărtat fațetele ascunse, am descompus poligoanele rămase în triunghiuri și le-am sortat în adâncime. Am completat structurile de date descrise și suntem gata să afișăm triunghiurile ca suprafețe solide sau sub formă de contururi. Pentru început, vom prezenta *algoritmul pictorului*. Pentru a afișa doar contururile este necesar să eliminăm liniile ascunse, procedeu prezentat mai târziu.

În comparație cu ce s-a făcut până acum, algoritmul pictorului este foarte simplu. Parcurgem tabloul și desenăm triunghiurile care au contorul zero. Acestea nu acoperă alte triunghiuri. Când trasăm un astfel de triunghi, decrementăm contoarele triunghiurilor din lista respectivă (numărul de triunghiuri de sub ele s-a redus cu cel pe care îl desenăm). Marcăm contorul triunghiului desenat, pentru a nu-l mai lua în considerare. În urma acestor operații vor rezulta noi contoare nule. Continuăm acest proces, până când nu mai avem triunghiuri de afișat.

Secvența din Figura 1.27 prezintă evoluția algoritmului pictorului. Datele inițiale sunt cele din Figura 1.26. Operațiile care se execută și structurile de date sunt prezentate mai jos.

Δ		lista	cnt	cnt.	nr.
				după	
1	trasare	3 5 2	0	*	
2			3	2	
3		2 5 6	2	1	
4		3 5	0	0	
5		2	4	3	
6		5	1	1	1
1		3 5 2	*	*	
2			2	2	
3		2 5 6	1	0	
4	trasare	3 5	0	*	
5		2	3	2	
6		5	1	1	2
1		3 5 2	*	*	
2			2	1	
3	trasare	2 5 6	0	*	
4		3 5	*	*	

Tabelul 1

triunghi	contor	lista
1	0	3 5 2
2	3	
3	2	2 5 6
4	0	3 5
5	4	2
6	1	5

5		2	2	1	
6		5	1	0	3
1		3 5 2	*	*	
2			1	1	
3		2 5 6	*	*	
4		3 5	*	*	
5		2	1	0	
6	trasare	5	0	*	4
1		3 5 2	*	*	
2			1	0	
3		2 5 6	*	*	
4		3 5	*	*	
5	trasare	2	0	*	
6		5	*	*	5
1		3 5 2	*	*	
2	trasare		0	*	
3		2 5 6	*	*	
4		3 5	*	*	
5		2	*	*	
6		5	*	*	6

Algoritmul picturului este valabil doar pentru dispozitive raster și doar dacă avem de afișat obiecte solide, prin poligoane pline. În esență, se bazează pe faptul că o zonă dată, setată pe o anumită culoare, pe urmă poate fi setată pe altă culoare. Culoarea fiecărui pixel poate fi modificată în mod repetat. Aceasta înseamnă că atunci când se desenează un poligon, el se suprapune peste ceea ce era desenat anterior.

O Posibilă Metodă de Îndepărtare a Liniilor Ascunse Acest algoritm ar putea fi utilizat și pentru afișarea unor obiecte solide prin trasarea laturilor. Scena poate fi desenată prin umplere de poligoane. Mai întâi umplem cu culoarea de fond, apoi trasăm conturul poligonului. Umplerea va șterge toate liniile afla în spatele poligonului. Ordinea în care se

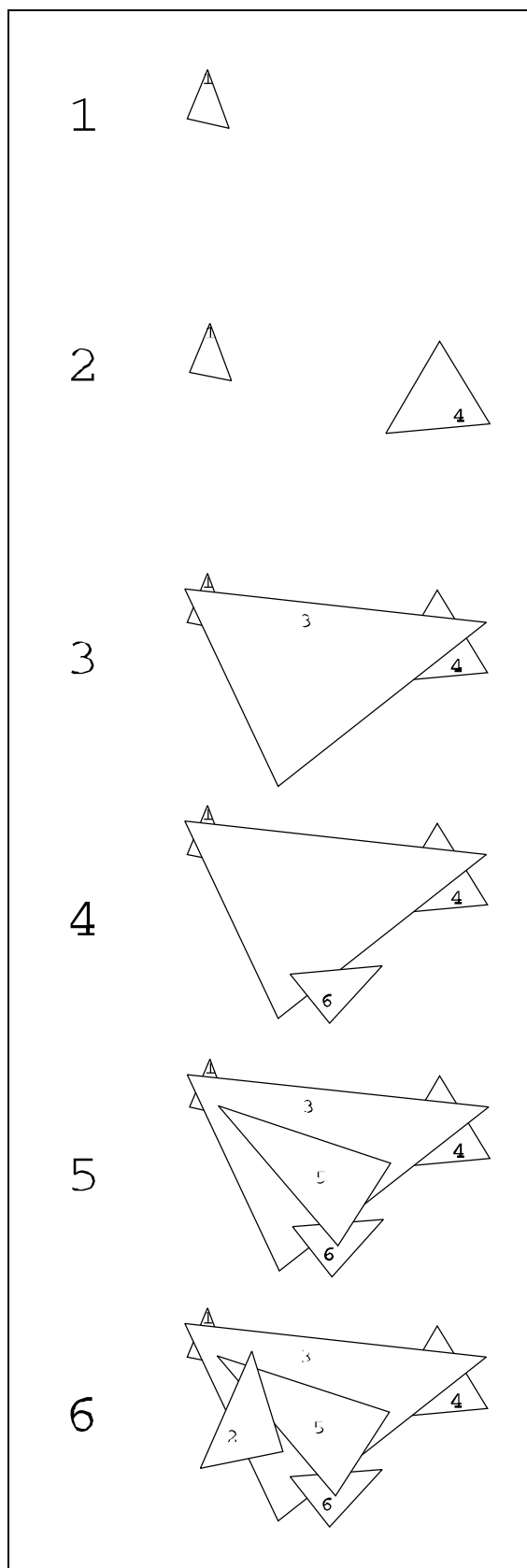


Figura 1.27

efectuează operațiile, umplere apoi trasarea conturului, este esențială, pentru a evita ca umplerea să ștergă și conturul poligonului în cauză.

După cum am mai spus, o scenă compusă nu numai din triunghiuri ci și din poligoane mai mari, este bine să fie reprezentată intern doar prin triunghiuri. Patrulaterul $abcd$ din Figura 1.28 este reprezentat ca două triunghiuri, abd și bcd . Când umplem cele două triunghiuri cu aceeași culoare, ele se contopesc la conturul poligonului. Dar când dorim să reprezentăm doar laturile, va fi afișată și linia care le desparte, bd . Cum putem evita acest lucru? O soluție simplă este să adăugăm fiecărui vertex al triunghiului (intern - un pointer) un operator M sau D , care va avea semnificația de mutare sau desenare. Cele două triunghiuri vor fi atunci $DaDbMd$ și $MbDcDd$. Trebuie să ținem cont de acești operatori atunci când trasăm conturul triunghiurilor.

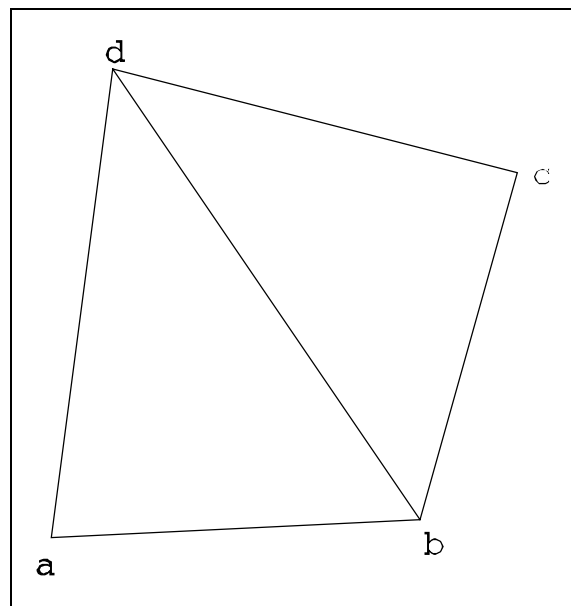


Figura 1.28

4.4 Îndepărtarea Liniilor Ascunse

Pe display-uri vectoriale nu avem posibilitatea să ștergem o linie prin scriere peste ea cu culoarea de fond, iar în cazul plotter-elor nu este posibilă nici un fel de ștergere. În ambele cazuri, o linie o dată trasată nu poate fi îndepărtată prin acoperire, deci nu putem utiliza algoritmul pictorului. Totuși, încă se mai utilizează display-uri vectoriale, iar plotter-ele vor mai fi în uz încă multă vreme. Pentru astfel de dispozitive avem nevoie de un alt algoritm pentru îndepărtarea liniilor și suprafețelor ascunse. De fapt, nu se pune problema îndepărtării suprafețelor, întrucât nu se practică umplerea pe astfel de dispozitive (deși aceasta s-ar putea efectua pe un plotter). Ne vom îndrepta atenția spre îndepărtarea liniilor ascunse.

Operațiile pregătitoare pentru algoritmul pictorului, descompunerea în triunghiuri și sortarea în adâncime, sunt necesare și în acest caz. Va trebui doar să efectuăm operații suplimentare care să elimine trasarea părților ascunse ale conturilor poligonale.

Se pornește cu tabloul de triunghiuri ordonate, ca și la algoritmul pictorului, dar în loc să trasăm un poligon plin atunci când găsim un triunghi cu contorul nul, vom efectua o "desenare cu linii ascunse" (DLA). O DLA este un proces îndelungat, care necesită calcule laborioase. În rest, algoritmul este identic. Atunci când găsim un triunghi cu contorul zero, îl DLA, parcurgem lista sa de triunghiuri care îl acoperă și decrementăm contoarele acestor triunghiuri. De asemenea, marcăm contorul acestui triunghi, pentru a nu-l mai lua în considerare în continuare. Ca rezultat, apar noi contoare nule și continuăm acest proces până când nu mai avem triunghiuri de afișat.

Înainte de a explica procesul de DLA trebuie să clarificăm relația dintre un segment și un triunghi. În Figura 1.29 se prezintă un segment, ab , și un triunghi. Există 5 modalități în care triunghiul acoperă segmentul:

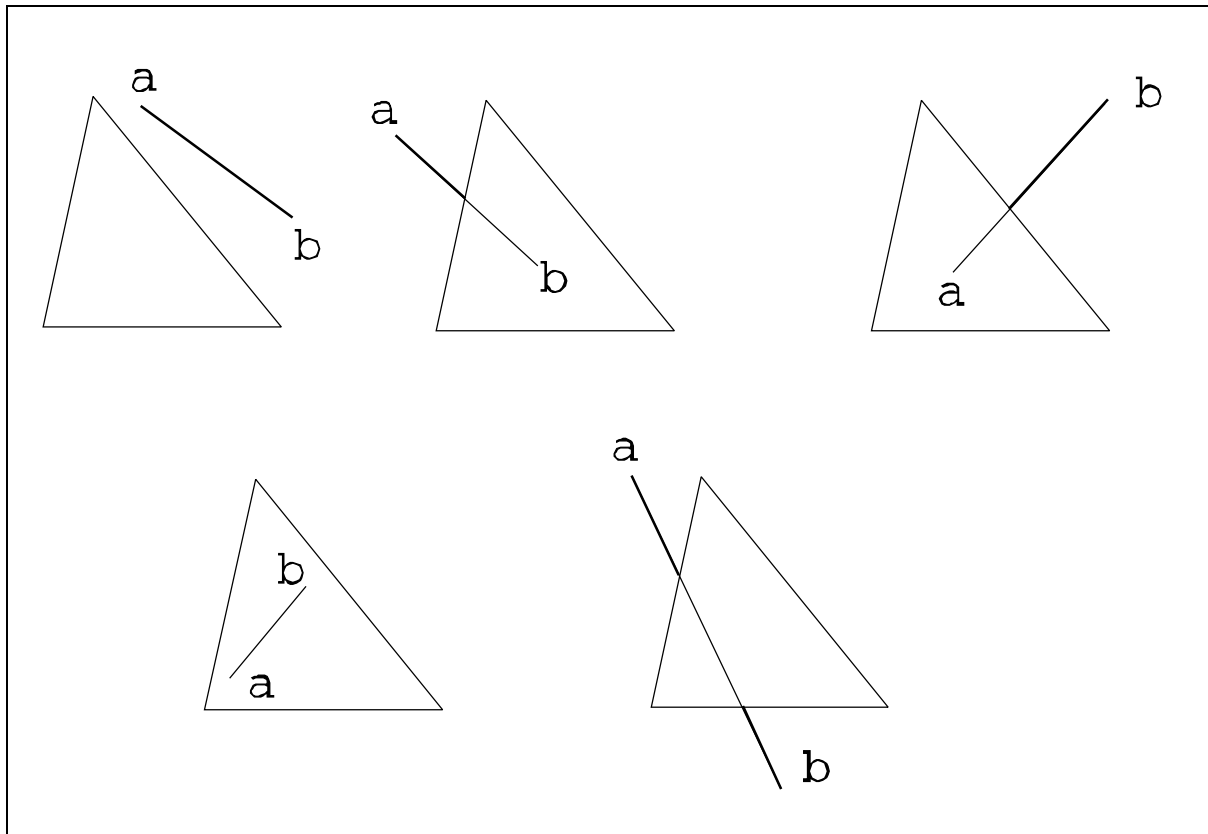


Figura 1.29 Pozițiile unui segment față de un triunghi

1. segmentul nu este ascuns;
2. a - ascuns, b - vizibil;
3. a - vizibil, b - ascuns;
4. segmentul este acoperit în întregime;
5. capetele - vizibile, o porțiune acoperită.

Pentru DLA avem nevoie de o rutină care să determine dacă un anumit triunghi acoperă un segment dat și să calculeze punctul sau punctele de intersecție. Deocamdată presupunem că dispunem de această rutină, pentru a ne concentra asupra principiului algoritmului.

Când trebuie să DLA un triunghi, îl descompunem în cele trei laturi și prelucrăm fiecare latură în parte. Lista de triunghiuri conține acele triunghiuri care pot să acopere oricare dintre cele trei laturi. Vom forma deci pentru fiecare latură o listă a triunghiurilor de deasupra.

Atunci când testăm o latură și un triunghi este posibil să ajungem în cazul 5, când rezultă două segmente. Fiecare dintre aceste părți trebuie comparată cu triunghiurile rămase în listă. Fiecare comparație poate să mărească numărul de segmente cu 1 și trebuie reținute toate. Pentru aceasta avem nevoie de o stivă în care să memorăm toate segmentele care trebuie testate. Inițializăm stiva cu cele trei vertex-uri ale triunghiului care trebuie DLA. De asemenea, inițializăm așa-numitul "*punct curent*" cu al treilea vertex (punctul de start al primului segment). Segmentul testat este cel dintre punctul curent și punctul memorat în vârful stivei. Împreună cu fiecare punct din stivă memorăm o comandă M sau D (inițial toate

sunt D) și lista triunghiurilor de deasupra. Fie triunghiul abc, cu triunghiurile 1, 2 și 3 deasupra. Stiva va fi inițializată cu

pct.crt.	vârf →	comanda	punct	lista
c		D	a	1 2 3
		D	b	1 2 3
		D	c	1 2 3

Aceasta înseamnă că, înainte de a-l desena, segmentul de la punctul c (punctul curent) la punctul a (vârful stivei) trebuie comparat cu triunghiurile 1, 2 și 3. (De fapt, stiva va conține doar pointeri la listele triunghiurilor de deasupra, dar, pentru claritate, specificăm lista completă. Listele indicate trebuie să fie liste separate, chiar dacă inițial ele sunt identice, întrucât vor fi modificate pe parcurs.)

În continuare vom preciza algoritmul de DLA în pseudocod. "comanda" și "lista" se referă la conținutul câmpurilor respective din vârful stivei.

DLA începe prin inițializarea stivei cu cele trei vertex-uri ale triunghiului. Apoi verifică comanda și lista; dacă comanda este M, nu se trasează nimic, se execută mutare. Dacă lista este vidă, nu avem nici un triunghi care să acopere segmentul și deci se poate executa comanda, indiferent dacă ea este D sau M. Atunci când se efectuează o comandă, punctul curent ia valoarea celui din vârful stivei și se extrage vârful stivei.

Dacă este o comandă D și lista nu este vidă, se compară segmentul de la punctul curent la vârful stivei cu primul triunghi din listă. Aceasta se face prin apelul unei rutine pe care o vom descrie mai târziu. Indiferent de rezultat, nu mai avem nevoie de acest triunghi și îl extragem din listă.

Acum, în funcție de poziția în care se află segmentul față de triunghi (vezi Figura 1.29), trebuie efectuate diferite operații:

- cazul 1:** nu se execută nimic. Urmează comparația cu următorul triunghi din listă.
- cazul 2:** o intersecție cu triunghiul și triunghiul acoperă punctul curent. Este necesară o mutare la punctul de intersecție, urmată de o desenare până la punctul din vârful stivei. Comanda D este deja în vârful stivei, trebuie adăugată la stivă o mutare la punctul de intersecție.
- cazul 3:** avem o intersecție și punctul curent este vizibil. Dorim trasare până în punctul de intersecție, apoi mutare la vârful stivei (chiar dacă punctul din vârful stivei este acoperit, avem nevoie de el pentru următoarea latură a triunghiului). Deci se modifică comanda în M. Înaintea acestui M avem nevoie de D la intersecție, care se adaugă la vârful stivei. Această trasare ar putea fi acoperită de triunghiurile rămase, deci primește aceeași listă.
- cazul 4:** tot segmentul este ascuns - comanda devine M.
- cazul 5:** două intersecții. În loc să trasăm până la punctul din vârful stivei, putem trasa doar până la cea mai apropiată intersecție, o mutare la intersecția următoare și apoi o trasare la vârful stivei. Ultima trasare se află deja în stivă; se adaugă la stivă un M la cea mai îndepărtată intersecție și un D la cea mai apropiată,

împreună cu lista rămasă.

Descriere în Pseudocod:

DLA pentru triunghiul a, b, c:

```
begin
  push(c și lista);
  push(b și lista);
  push(a și lista);
  pct_crt := c;
  repeat
    if comanda=M sau lista vidă
    then begin
      efectuează comanda;
      pct_crt := pop();
    end
    else begin
      compară primul triunghi din listă cu
      segmentul dintre pct_crt și vârful
      stivei;
      extrage primul triunghi din listă;
      case 1
        nimic;
      case 2
        push(M și intersecția);
      case 3
        schimbă comanda în M;
        push(D, intersecția și lista);
      case 4
        schimbă comanda în M;
      case 5
        push(M și intersecția mai depărtată);
        push(D, inters. apropiată și lista)
      end {else}
    until stiva vidă
  end {DLA};
```

Vom exemplifica pe cazul particular din Figura 1.30. Triunghiul 1 trebuie DLA; are deasupra triunghiurile 2 și 3.

```
c D a 2 3 comanda=D, lista nu e vidă
  D b 2 3 compară ca cu 2, șterge 2;
  D c 2 3 cazul 5, intersecției d, e;
        push(M, e);
        push(D, d și lista);
```

```
c D d 3 comanda=D, lista nu e vidă:
  M e compară cd cu 3, șterge 3;
  D a 3 cazul 3, intersecție f:
  D b 2 3 comanda := M ;
  D c 2 3 push(D, f și lista);
```

```

c  D f      lista vidă:
    M d      trasează la f;
    M e      pct_crt := f;
    D a 3    pop;
    D b 2 3
    D c 2 3

f  M d      comanda=M
    M e      mutare în d;
    D a 3    pct_crt := d;
    D b 2 3  pop
    D c 2 3

d  M e      comanda = M
    D a 3    mutare în e;
    D b 2 3  pct_crt := e;
    D c 2 3  pop;

e  D a 3    comanda=D, lista nu e vidă
    D b 2 3  compară ea cu 3, șterge 3;
    D c 2 3  cazul 1: nimic

e  D a      lista vidă:
    D b 2 3  trasează la a;
    D c 2 3  pct_crt := a; pop;

a  D b 2 3  comanda=D, lista nu e vidă
    D c 2 3  compară ab cu 2, șterge 2; cazul 1: nimic

a  D b 3    comanda=D, lista nu e vidă
    D c 2 3  compară ab cu 3, șterge 3; cazul 1: nimic

a  D b      lista vidă: trasează la b;
    D c 2 3  pct_crt := b; pop

b  D c 2 3  comanda=D, lista nu e vidă
    compară bc cu 2, șterge 2;
    cazul 5: intersecții g, h;
    push(M, h);
    push(D, g și lista);

b  D g 3    comanda=D, lista nu e vidă:
    M h      compară bg cu 3, șterge 3;
    D c 3    cazul 1: nimic

b  D g      lista vidă: trasează la g;
    M h      pct_crt := g;
    D c 3    pop;

g  M h      comanda=M: mutare h;
    D c 3    pct_crt := h; pop;

```

și așa mai departe.

Să vedem acum o rutină care determină în care din cele cinci situații ne încadrăm, iar

pentru cazurile 2, 3 și 5 calculează intersecțiile. Atunci când am descompus poligoanele în triunghiuri am efectuat o serie de teste, pentru a determina dacă un punct este sau nu în interiorul unui triunghi. Mai întâi, am efectuat testul minimax punct-triunghi; dacă testul nu a dat rezultatul "în exterior", a trebuit să efectuăm un test de interior de triunghi. Aici trebuie să facem același lucru. Trebuie să vedem dacă punctul curent și cel din vârful stivei sunt sau nu în interiorul triunghiului. Nu repetăm algoritmi, dar vom descrie ce trebuie efectuat în funcție de rezultatele celor două teste.

Rutina nu necesită ca argumente segmentul și triunghiul care se testează, întrucât ele sunt aceleași. Codificarea trebuie întotdeauna să se refere la segmentul dintre punctul curent și cel din vârful stivei și la primul triunghi din listă. Rutina va returna trei elemente: un întreg - numărul cazului în care ne încadrăm și două valori reale, pentru intersecții (dacă ele există). Am văzut deja formulele pentru calculul intersecțiilor.

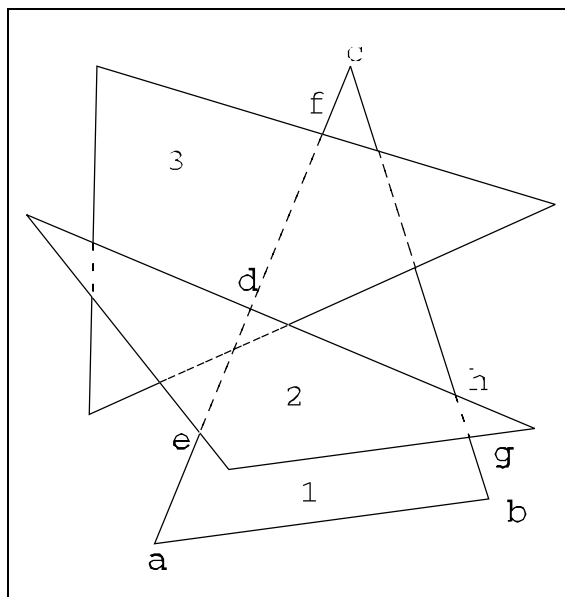


Figura 1.30

Atunci când testăm două puncte față de un triunghi putem întâlni următoarele situații:

- ambele puncte sunt în interior. Rezultă că triunghiul acoperă segmentul în întregime: se returnează cazul 4.
- un punct în interior, celălalt în exterior: se returnează cazul 2 sau 3, în funcție de care din puncte este în interior. Apoi se caută intersecția fiecărei laturi a triunghiului cu segmentul. Pentru una dintre laturi există în mod sigur o intersecție, care se returnează.
- ambele capete sunt în exterior. Pentru a vedea dacă suntem în cazul 1 sau 5, căutăm intersecția fiecărei laturi cu segmentul. Dacă nu există, suntem în cazul 1, segmentul nu este acoperit de către triunghi. Dacă există intersecții, ele vor fi două - cazul 5. Se caută care dintre ele este mai aproape de punctul curent și se returnează ca primă intersecție, iar cealaltă în al doilea rezultat. Intersecția cea mai apropiată este ușor de determinat. Fie (p_x, p_y) punctul curent și (a_x, a_y) , (b_x, b_y) cele două intersecții. Dacă

$$|p_x - a_x| < |p_x - b_x|$$

sau

$$|p_y - a_y| < |p_y - b_y|$$

atunci (a_x, a_y) este intersecția cea mai apropiată.

Acestea sunt operațiile necesare pentru îndepărtarea suprafețelor și liniilor ascunse. Reamintim faptul că nu sunt permise acoperirile ciclice și nici poligoanele întrepătrunse. Astfel de situații ar putea fi tratate prin sortare în adâncime, dar algoritmul devine mult mai complex și mare consumator de timp de calcul. Sunt mai indicate metoda Z-buffer sau cea a subdiviziunii, prezentate în capitolul următor, care sunt capabile să trateze aproape orice situație.